# ENERGIA OCEANOS Energias renováveis

Miguel Centeno Brito

#### **ENERGIA DOS OCEANOS**

#### **Aproveitamento** da

- energia das ondas
- energia das marés
- gradiente **térmico**
- gradiente **salinidade**



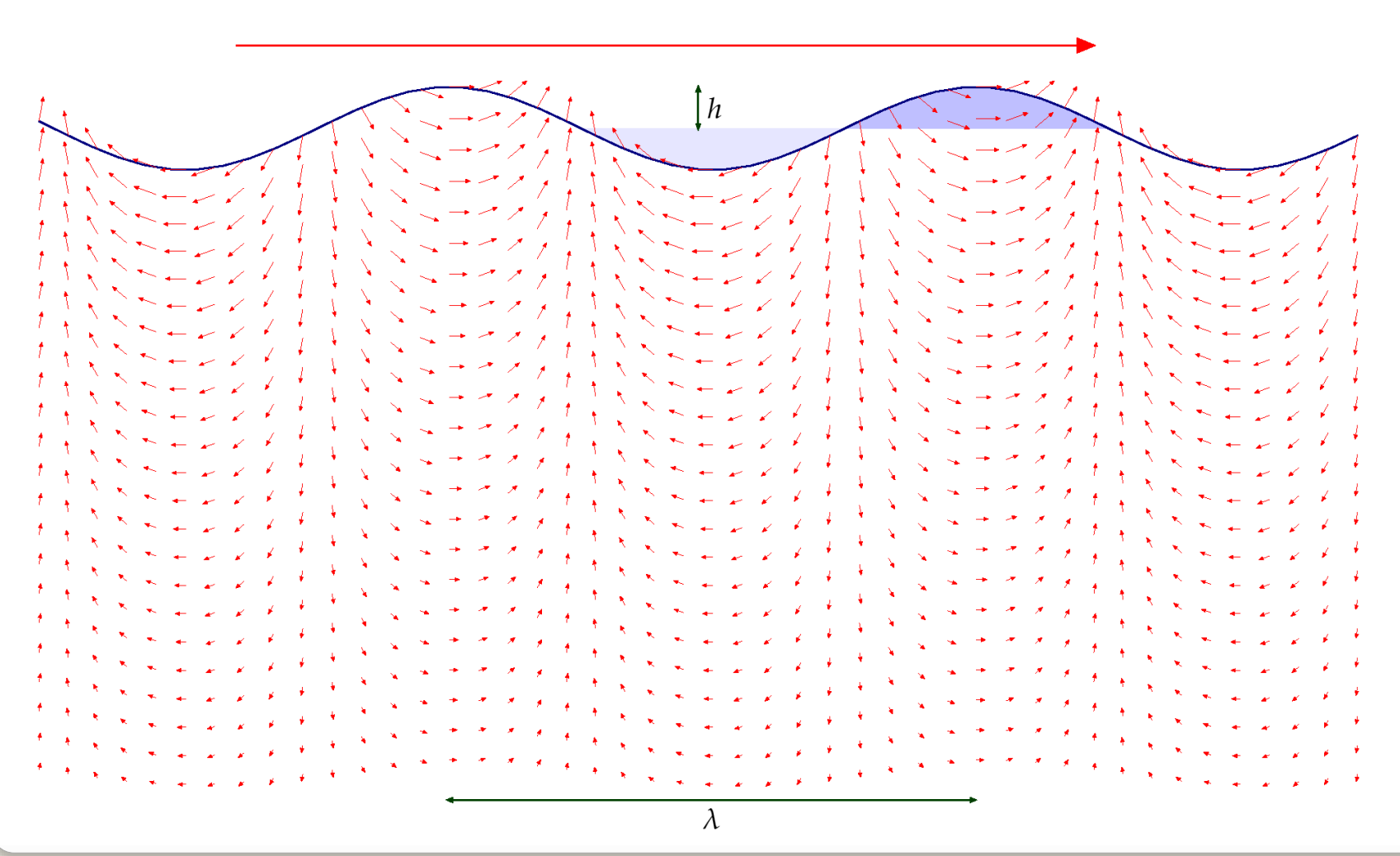
Energia das ondas é energia solar de 3ª geração

- radiação solar aquece superfície da Terra,
- cujas diferenças de temperatura causam vento,
- ventos sobre a superfície do oceano causam ondas

Quando uma onda encontra um obstáculo que absorve a sua energia (e.g. ilha) o mar é jusante é mais calmo: efeito sombra.

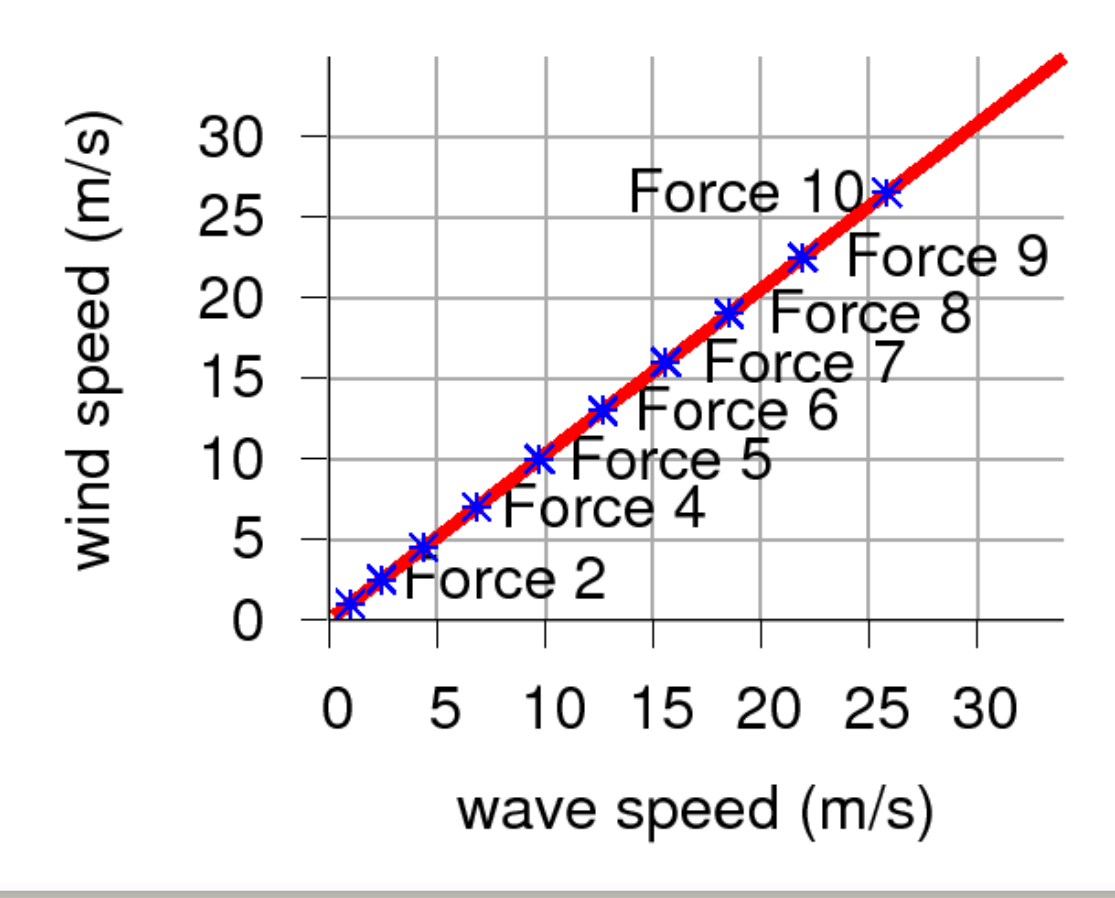
As unidades para definir a energia das ondas devem ser portanto W/m (e não W/m2).

Energia das ondas = energia potencial + energia cinética



Energia das ondas = energia potencial + energia cinética

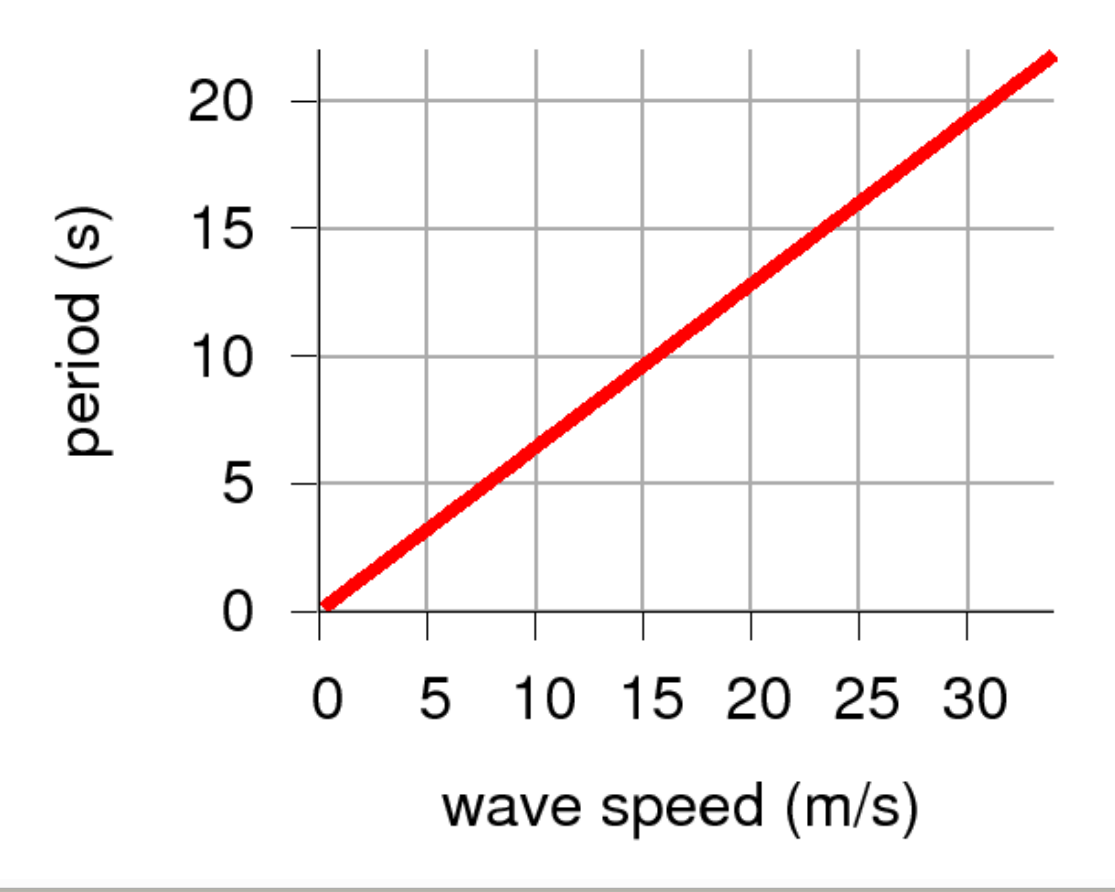
Velocidade das ondas é proporcional à velocidade do vento.



Energia das ondas = energia potencial + energia cinética

O período das ondas é proporcional à velocidade.

$$v = \frac{gT}{2\pi}$$



Energia das ondas = energia potencial + energia cinética

O comprimento de onda das ondas aumenta com o quadrado da velocidade.

$$v = \frac{gT}{2\pi}$$

$$\lambda = vT = \frac{gT^2}{2\pi}$$

wavelength (m)

Velocidade do vento determina período e comprimento de onda da onda mas a altura da onda depende do tempo que dura o vento

$$T = 10 s$$
  $v = 16 m/s$ 

$$\lambda = 160 \text{ m}$$

5 10 15 20 25 30 wave speed (m/s)

Energia das ondas = energia potencial + energia cinética

$$P_{potencial} \approx \frac{mgh}{T} \approx \frac{\left(\frac{1}{2}\rho h \frac{\lambda}{2}\right)gh}{T} = \frac{1}{4}\rho g h^2 v$$

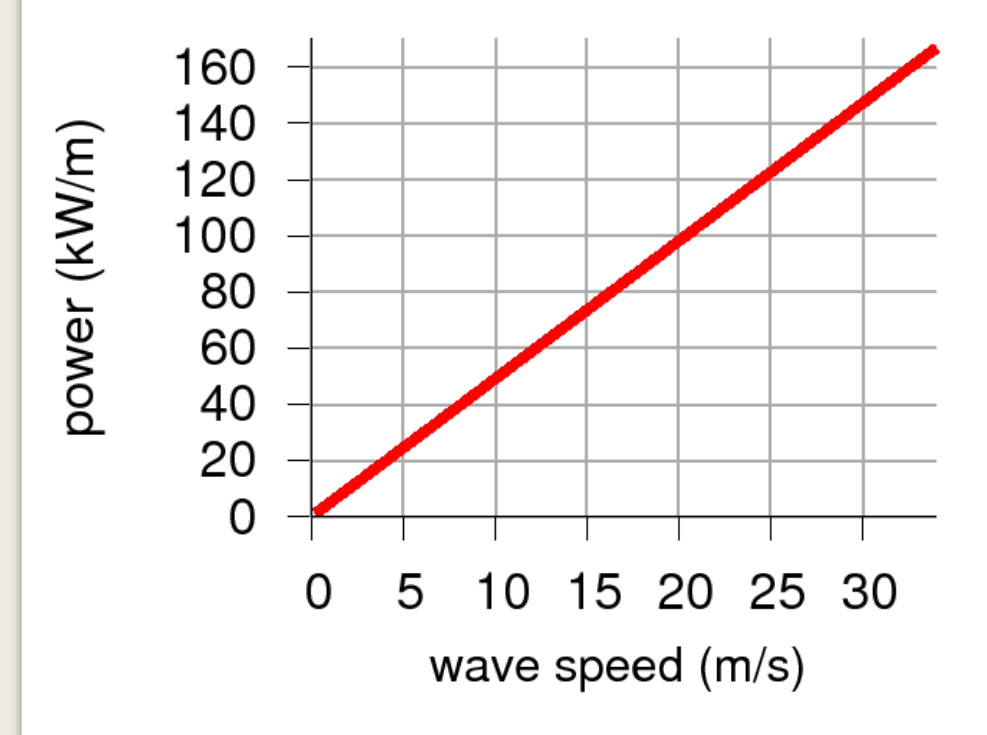
$$P_{cinética} = P_{potencial}$$

$$P_{total} = P_{potencial} + P_{cinética} = \frac{1}{2} \rho g h^2 v$$

Na realidade, para ondas em alto mar, a energia viaja à velocidade de grupo que é metade da velocidade da onda e por isso

$$P_{total} = \frac{1}{4} \rho \, g h^2 \, v$$

Energia das ondas = energia potencial + energia cin 90% da amplitude)



Em mar profundo, perdas viscosidade desprezáveis (3x volta ao mundo com 90% da amplitude)
Em mar pouco profundo, perdas fricção relevantes (70% de perdas quando fundo sobe de 100 para 15m).

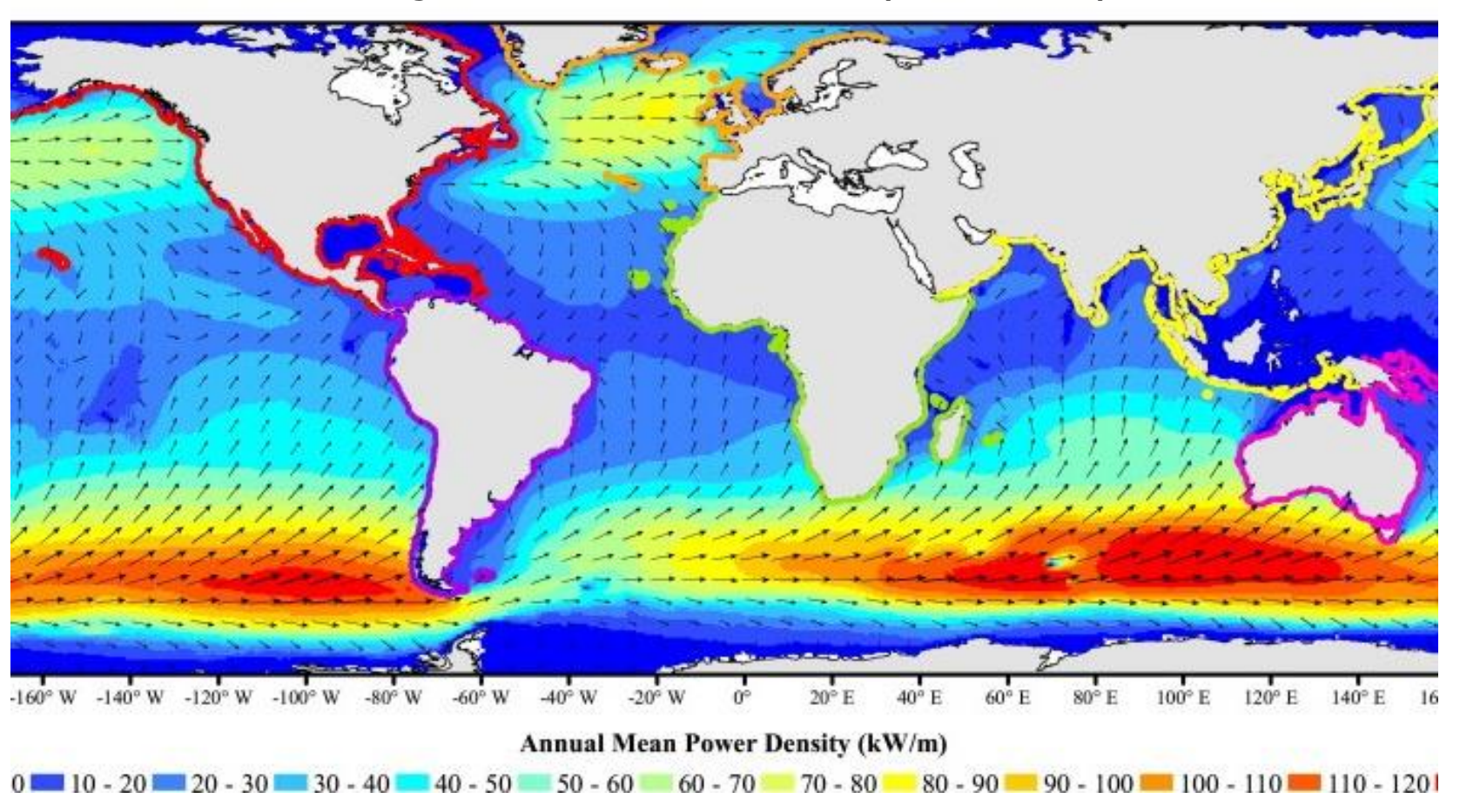
$$T = 10 \text{ s}$$
  $v = 16 \text{ m/s}$   $\lambda = 160 \text{ m}$   $P = 40 \text{ kW/m}$ 

Na realidade a energia *viaja* à velocidade de grupo que é metade da velocidade da onda e por isso

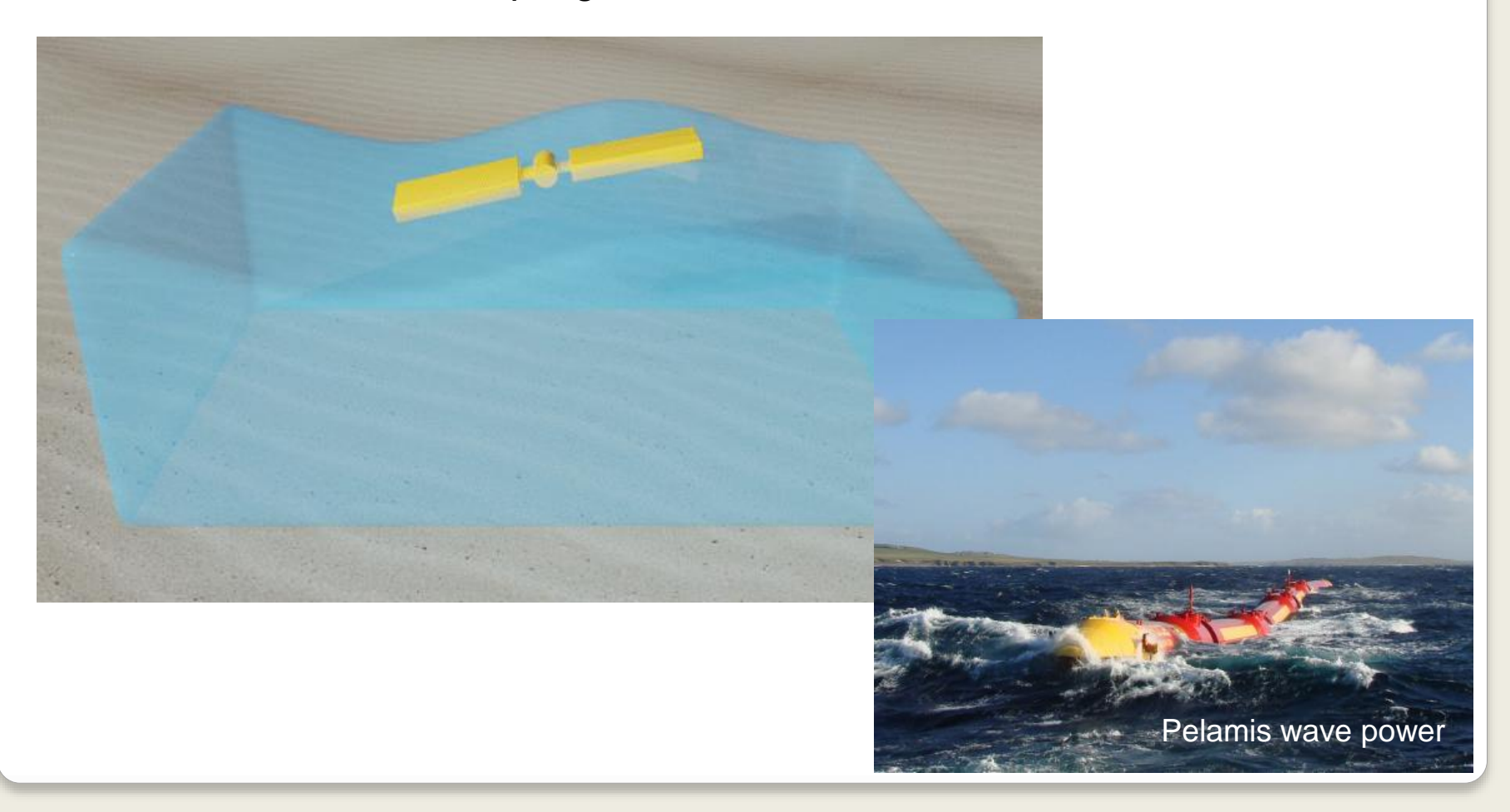
$$P_{total} = \frac{1}{4} \rho \, g h^2 \, v$$

#### Potencial das energia das ondas

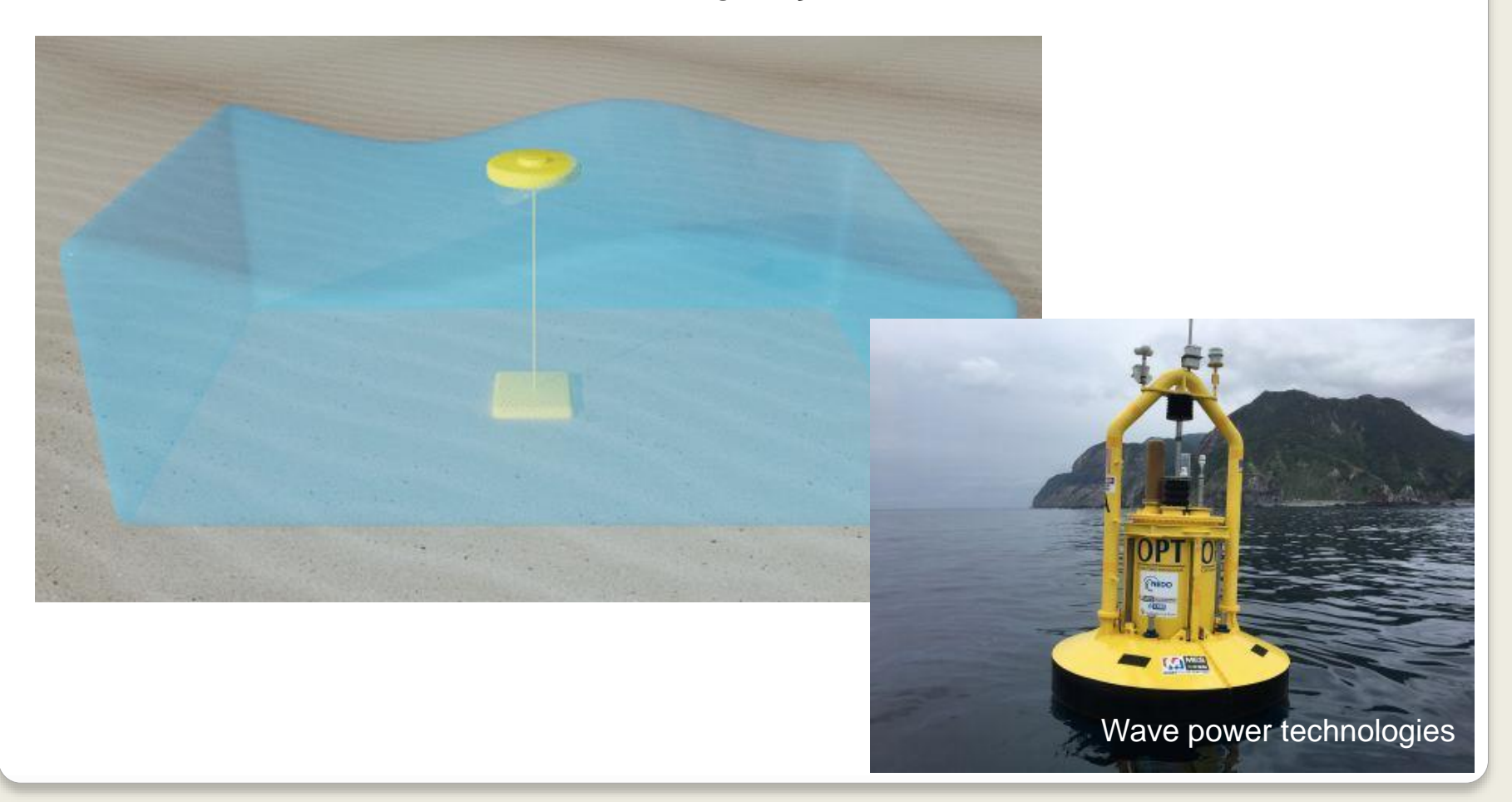
Fluxo médio da energia das ondas em kW/m (ou MW/km)



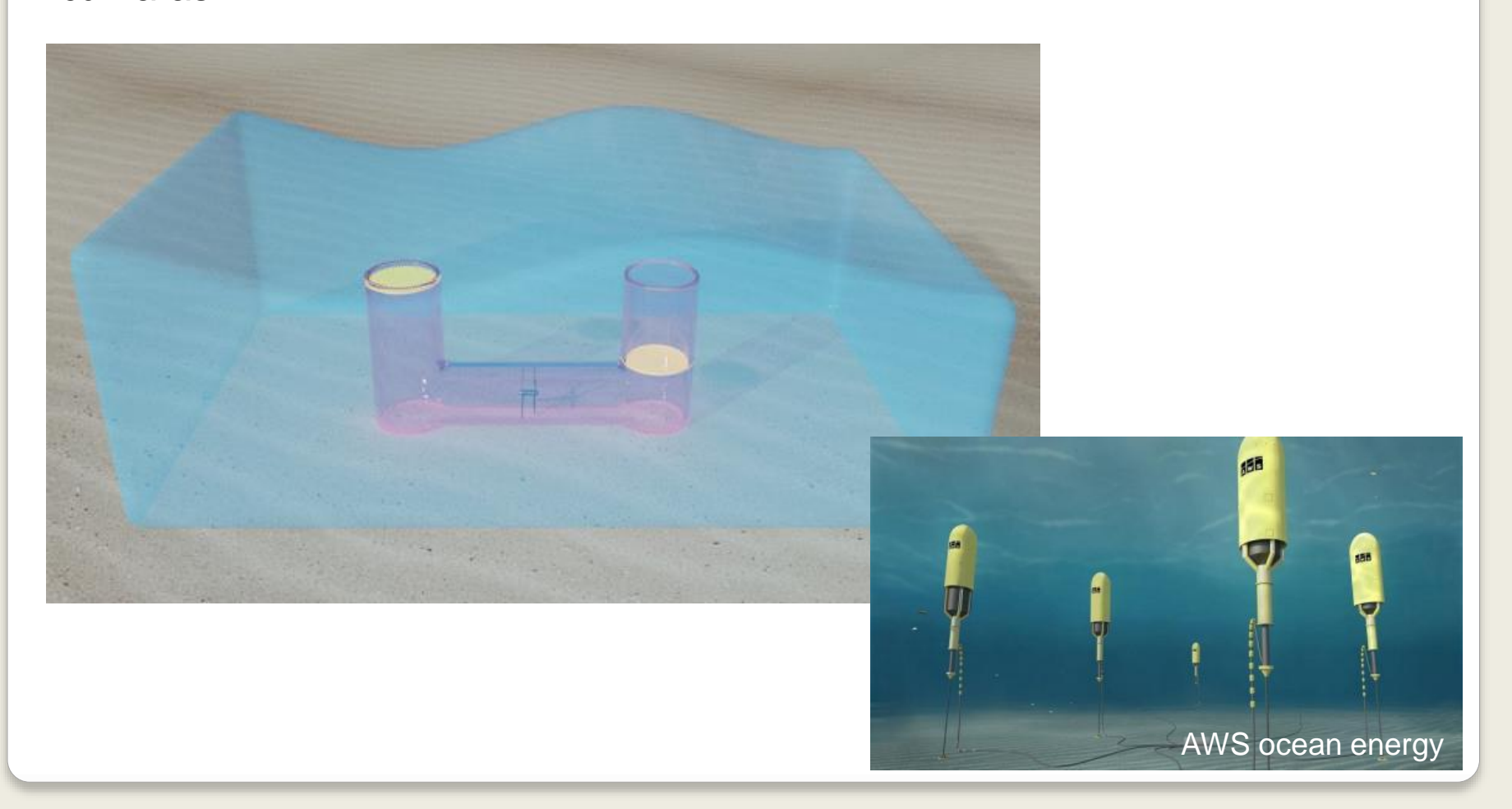
**Atenuadores -** Movimento relativo dos segmentos pode ser usado para atuar sobre bomba hidraulicas que geram eletricidade



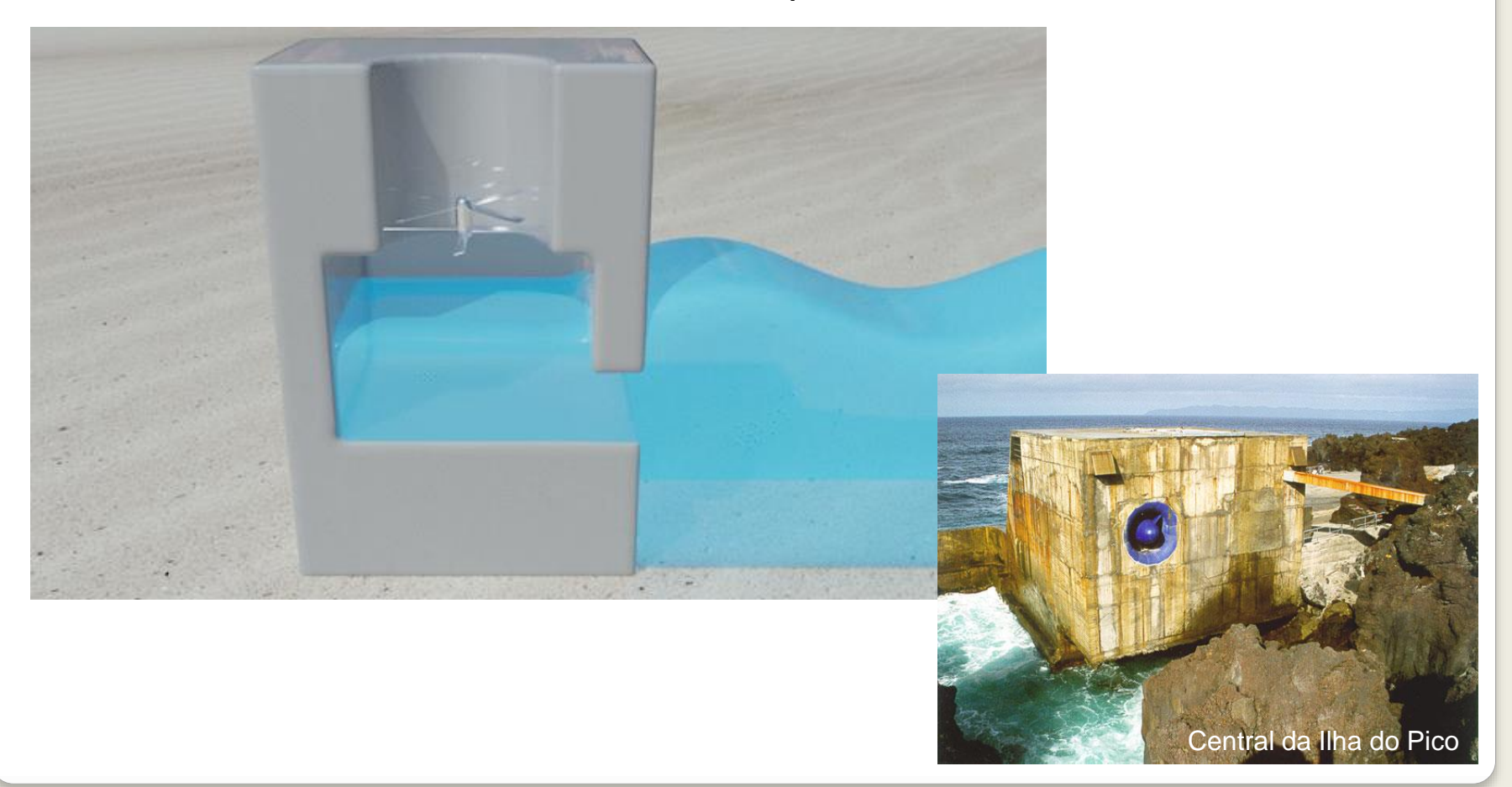
**Absorsor pontual -** A eletricidade pode ser produzida usando um gerador linear ou rotativo, bombeando um fluído ou geração direta.



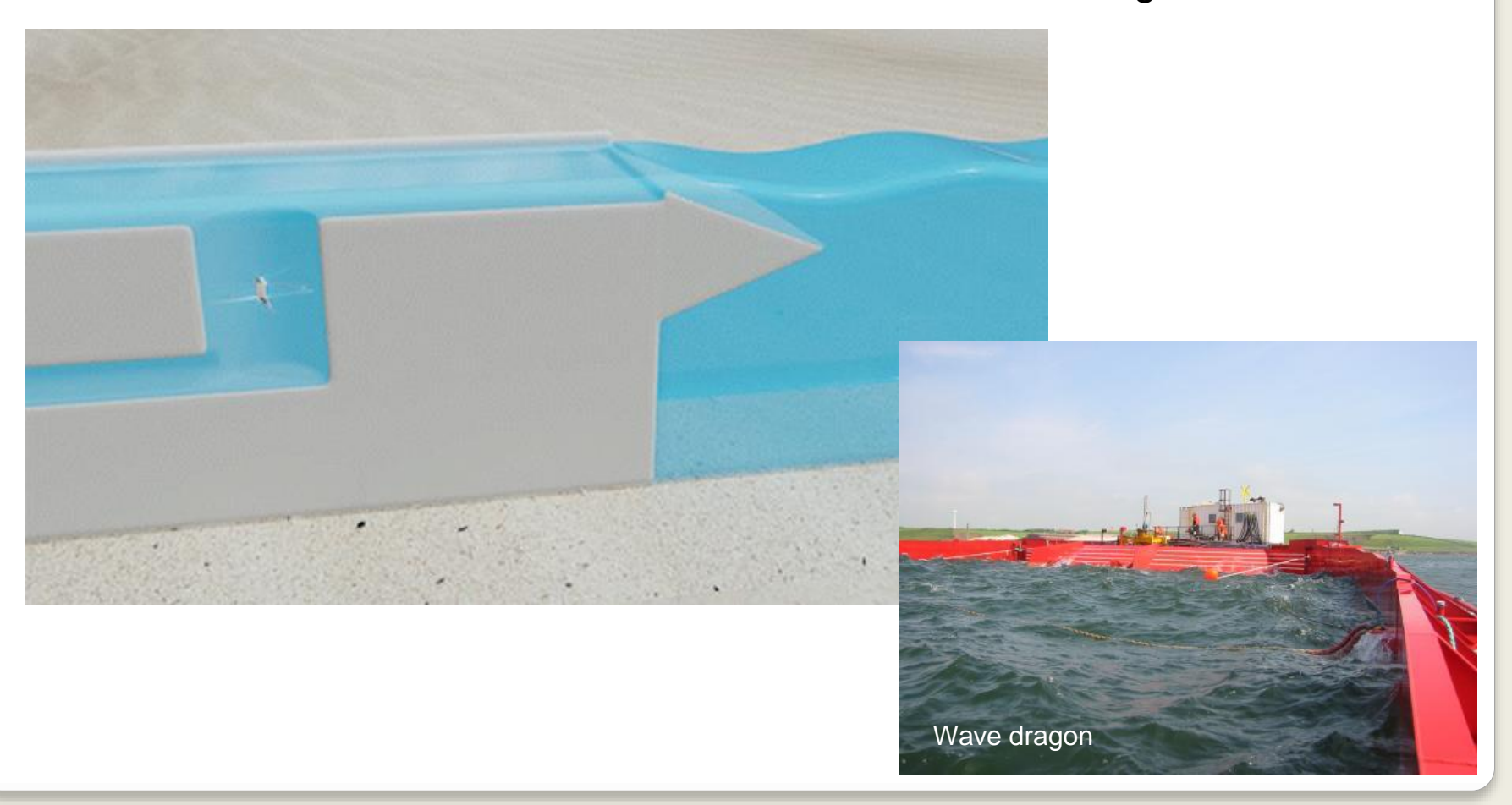
**Diferencial de pressão** - A energia é extraída à medida que o ar flui entre as câmaras



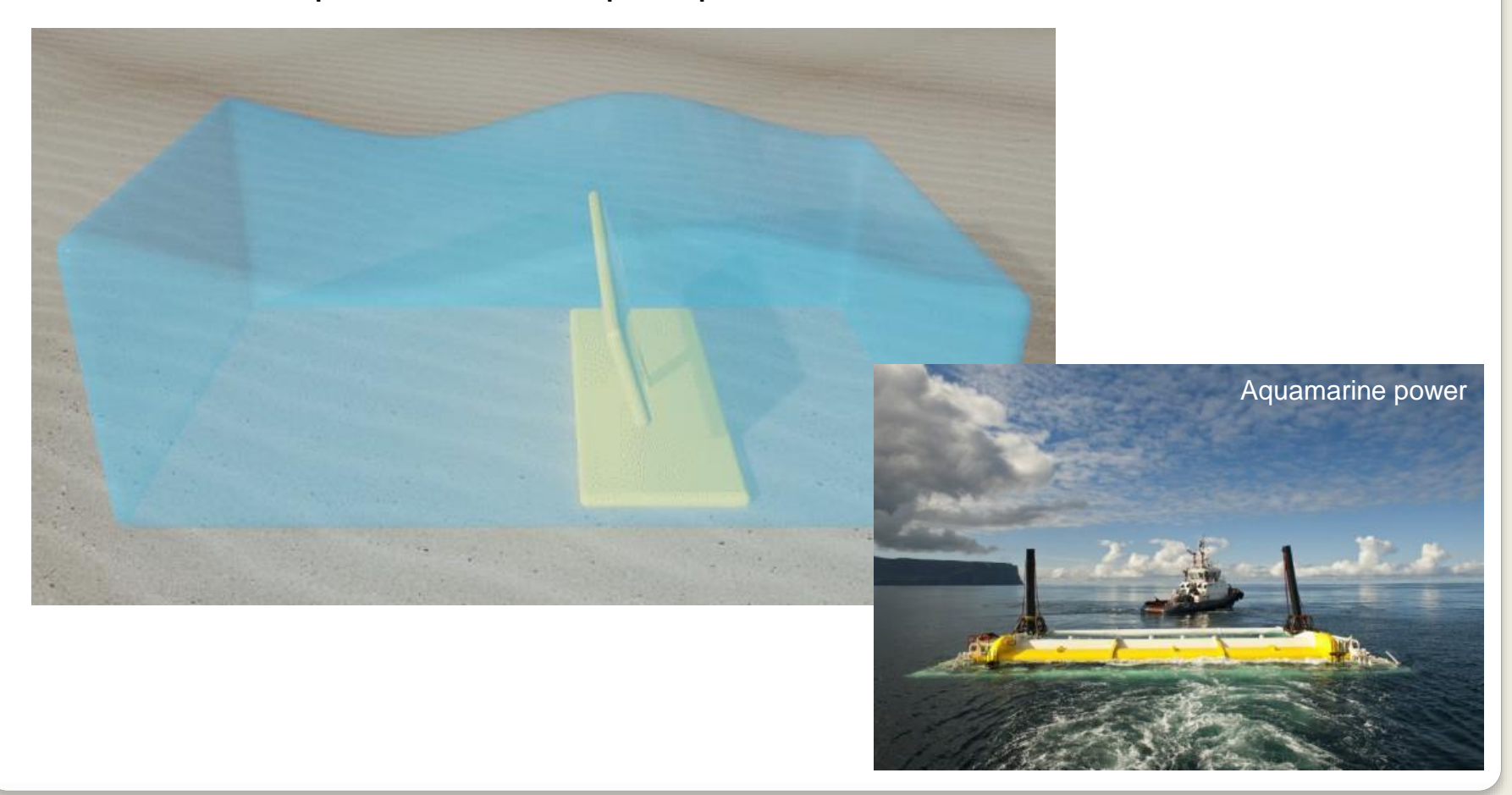
#### Coluna de ar oscilante - Pressão de ar que acciona turbina



**Dispositivos de galgamento -** são estruturas longas que permitem que o movimento das ondas encha um reservatório a um nível de água mais elevado



Conversores de onda oscilante - movimento aciona gerador para produzir eletricidade ou pode ser usado para pressurizar um fluido.



#### Potencial das energia das ondas

40 kW/m

Eficiência: 50%

Comprimento costa nacional: 500 km

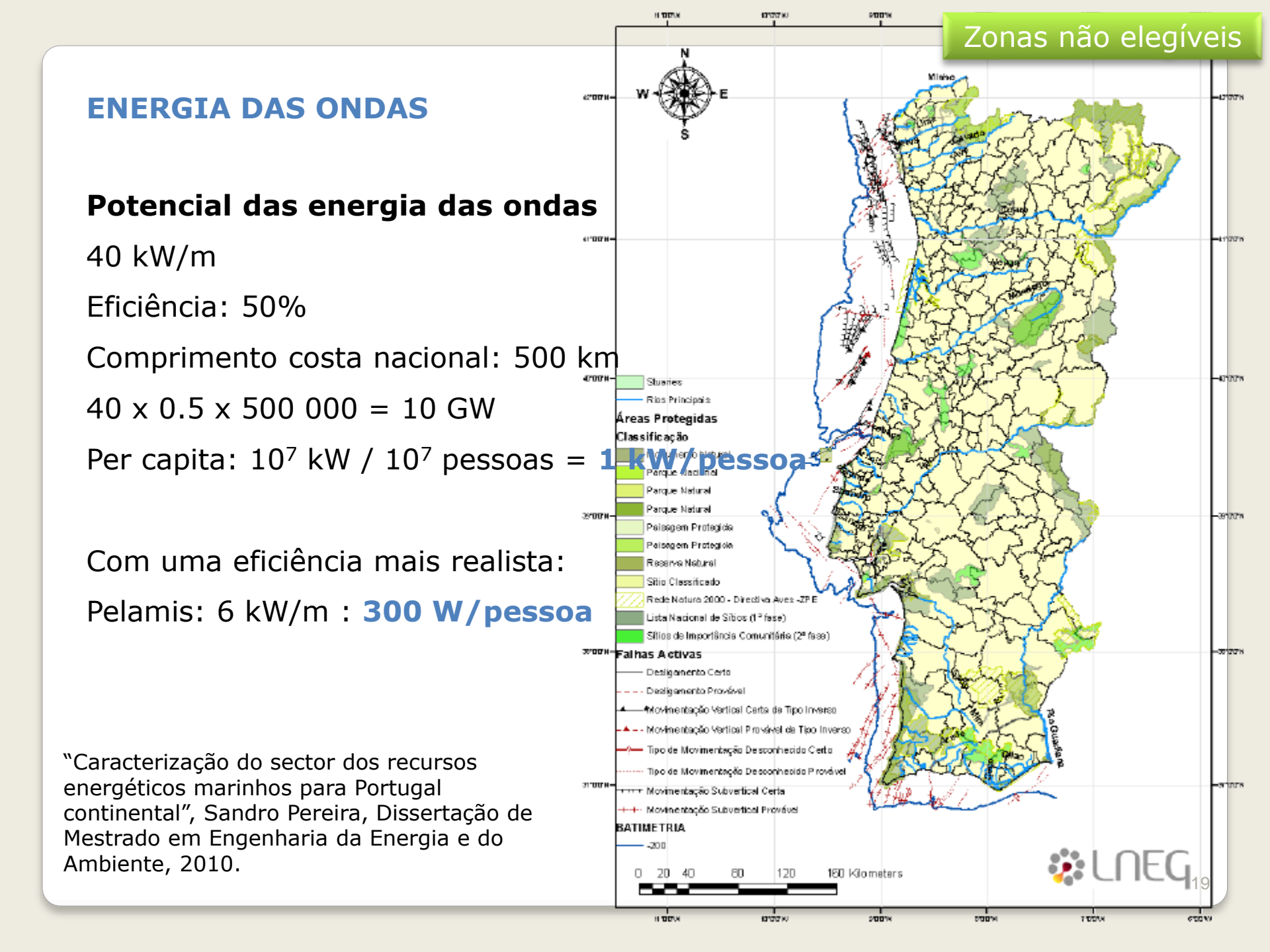
 $40 \times 0.5 \times 500\ 000 = 10\ GW$ 

Per capita:  $10^7 \text{ kW} / 10^7 \text{ pessoas} = 1 \text{ kW/pessoa}$ 

Com uma eficiência mais realista:

Pelamis: 6 kW/m: 300 W/pessoa

Mas acabava o turismo de surf em Portugal



#### Potencial das energia das ondas

40 kW/m

Eficiência: 50%

Comprimento costa nacional: 500 km

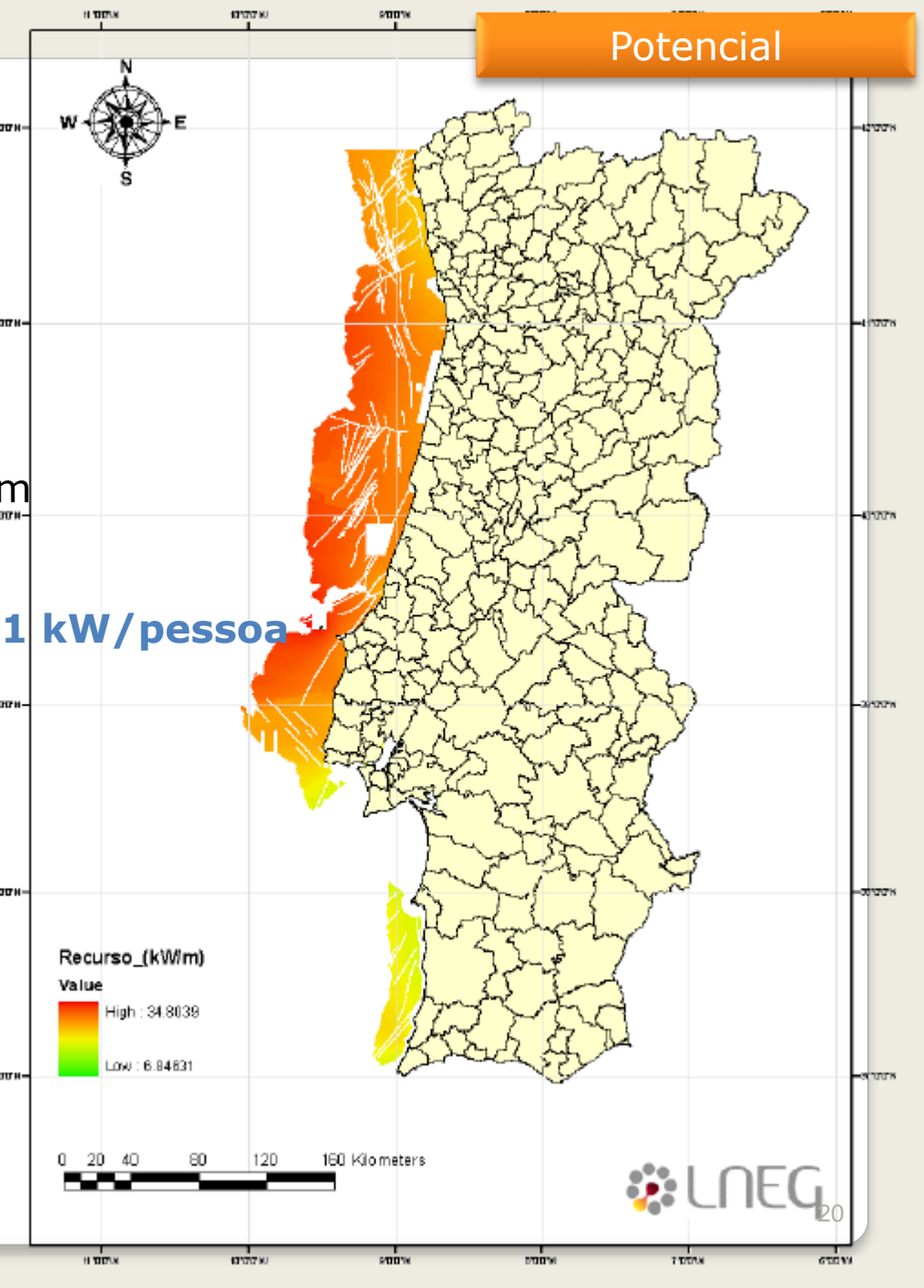
 $40 \times 0.5 \times 500\ 000 = 10\ GW$ 

Per capita:  $10^7 \text{ kW} / 10^7 \text{ pessoas} = 1 \text{ kW/pessoa}$ 

Com uma eficiência mais realista:

Pelamis: 6 kW/m: 300 W/pessoa

"Caracterização do sector dos recursos energéticos marinhos para Portugal continental", Sandro Pereira, Dissertação de Mestrado em Engenharia da Energia e do Ambiente, 2010.



#### Potencial das energia das ondas

40 kW/m

Eficiência: 50%

Comprimento costa nacional: 500 km

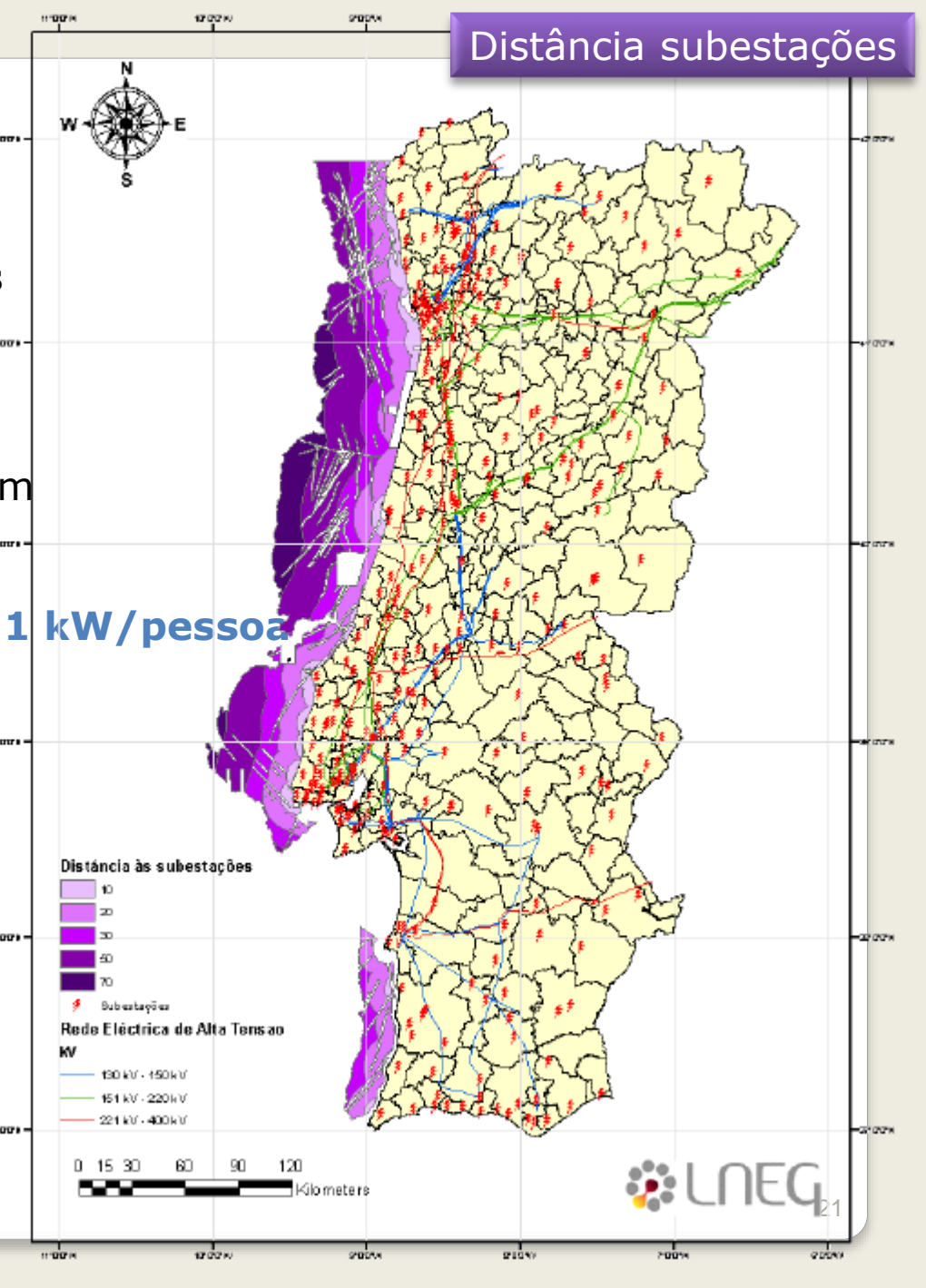
 $40 \times 0.5 \times 500\ 000 = 10\ GW$ 

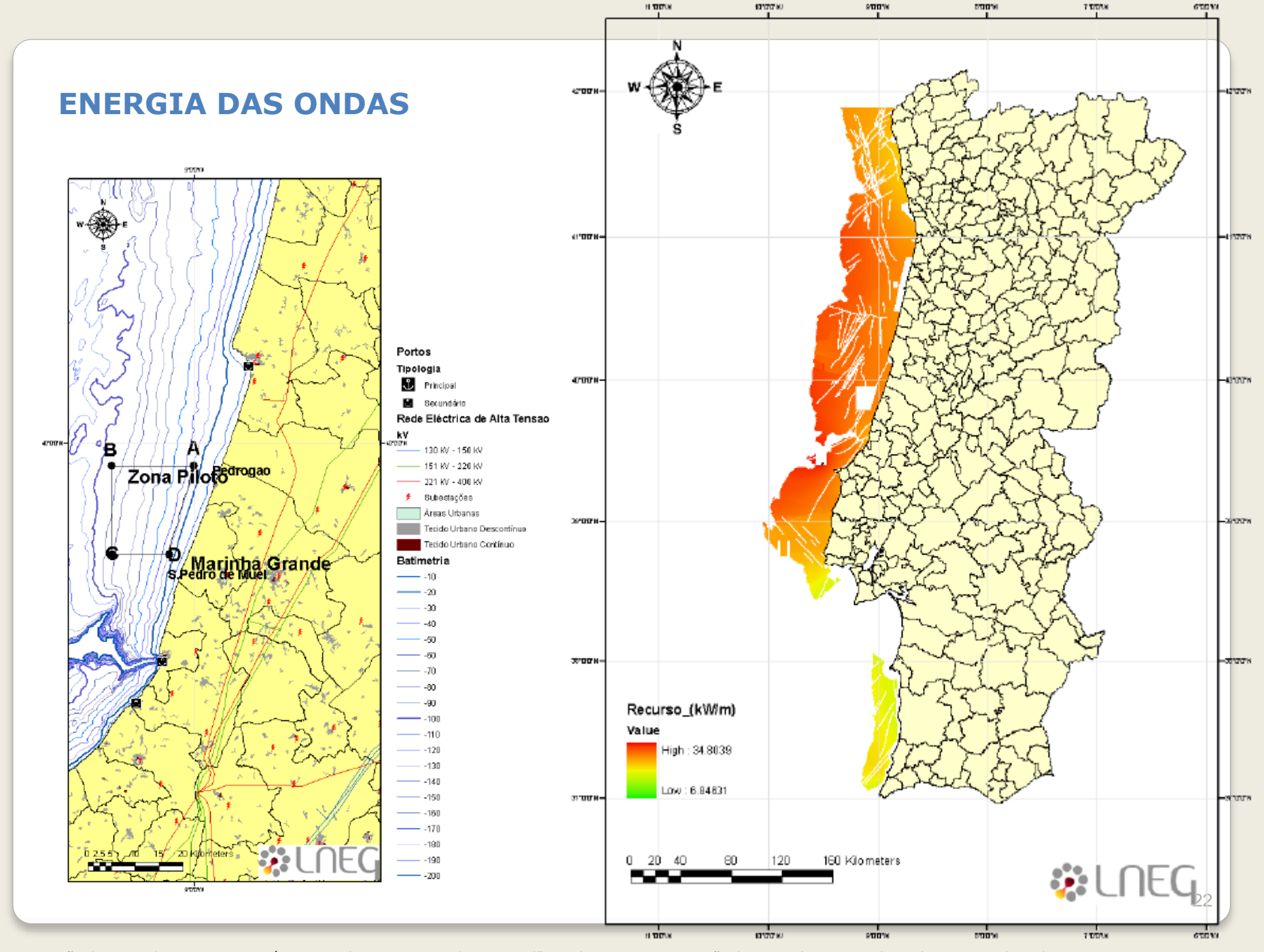
Per capita:  $10^7 \text{ kW} / 10^7 \text{ pessoas} = 1 \text{ kW/pessoa}$ 

Com uma eficiência mais realista:

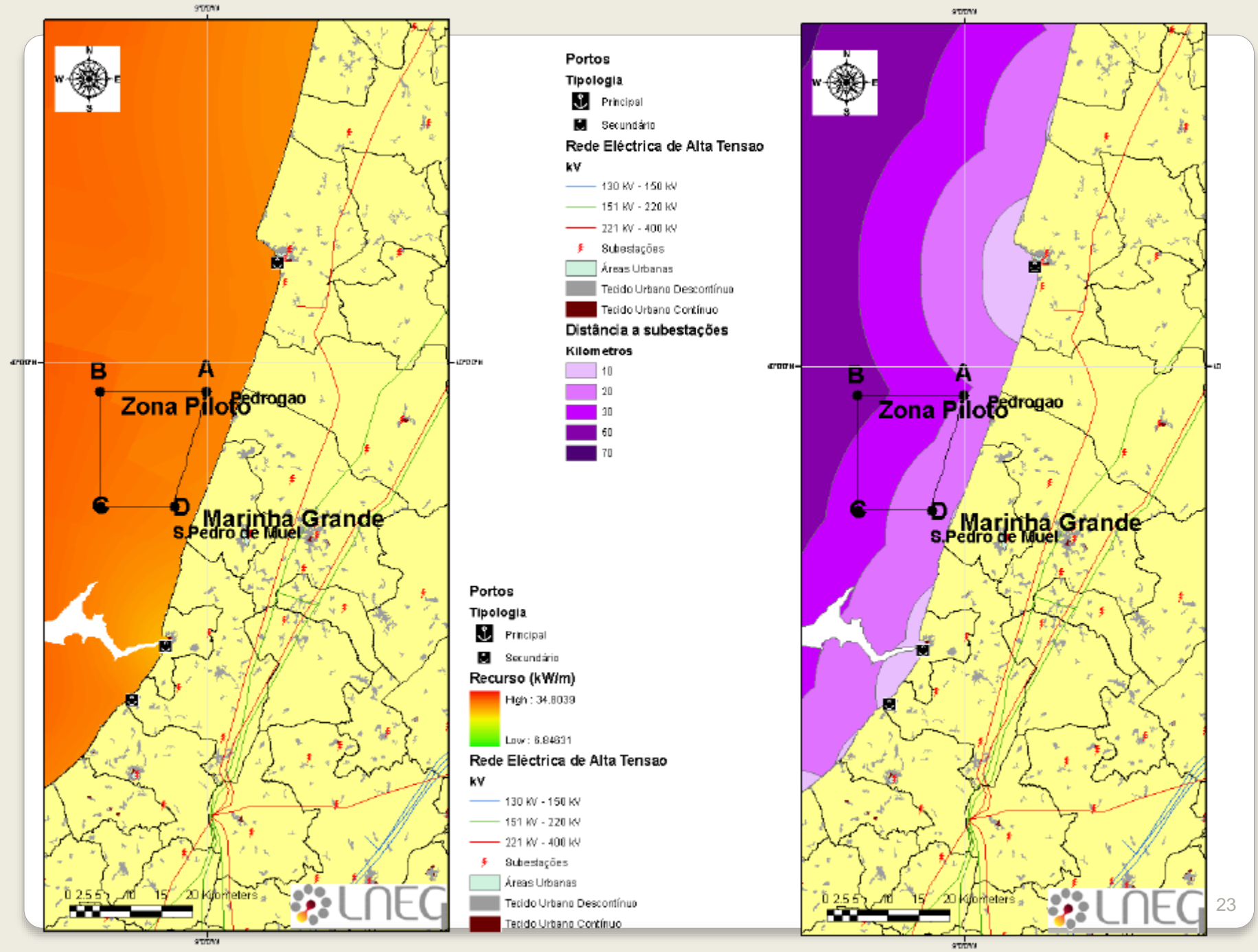
Pelamis: 6 kW/m: 300 W/pessoa

"Caracterização do sector dos recursos energéticos marinhos para Portugal continental", Sandro Pereira, Dissertação de Mestrado em Engenharia da Energia e do Ambiente, 2010.





<sup>&</sup>quot;Caracterização do sector dos recursos energéticos marinhos para Portugal continental", Sandro Pereira, Dissertação de Mestrado em Engenharia da Energia e do Ambiente, 2010.



"Caracterização do sector dos recursos energéticos marinhos para Portugal continental", Sandro Pereira, Dissertação de Mestrado em Engenharia da Energia e do Ambiente, 2010.

# Energia das ondas em Portugal

Projetos atuais:

HiWave5 – Aguçadoura (1MW) – 2023

Absorsor pontual (300 kW/dispositivo)

https://www.corpowerocean.com

Barra do Douro (1 MW) – data?

Atenuador (12.5 kW/dispositivo)

https://www.ecowavepower.com/

Waveroller – Peniche (300 kW) - 2020

Projetado: Swell - Peniche (5.6 MW) - data?

Galgamento (100 kW/dispositivo)

http://aw-energy.com/

**mWave** – Peniche (64 MW) – data?

Diferencial pressão (1.5 MW/dispositvo)

http://www.bomborawave.com/projects



#### **HiWave5** – Aguçadoura (1MW) – 2023 | Absorsor pontual (300 kW/dispositivo)

**EXCLUSIVOS SEMANÁRIO** 

## Expresso 50

ÚLTIMAS

OPINIÃO

**ECONOMIA** 

**PODCASTS** 

TRIBUNA

BLITZ

JOGOS

**EXPRESSO 50 ANOS** 

CLUBE EXPRESSO

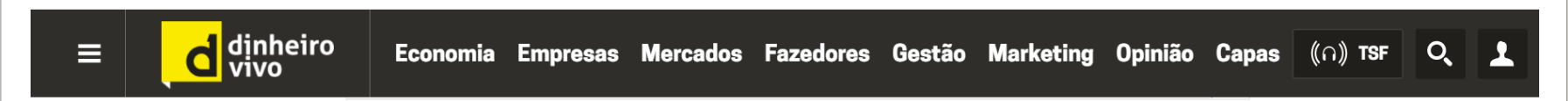
#### **ECONOMIA**

### Corpower instala âncora para a sua primeira unidade de energia das ondas em Portugal

A sueca Corpower já lançou ao mar, a 4 quilómetros da costa portuguesa, a âncora para a primeira unidade do projeto HiWave 5, que vai testar o aproveitamento de energia das ondas

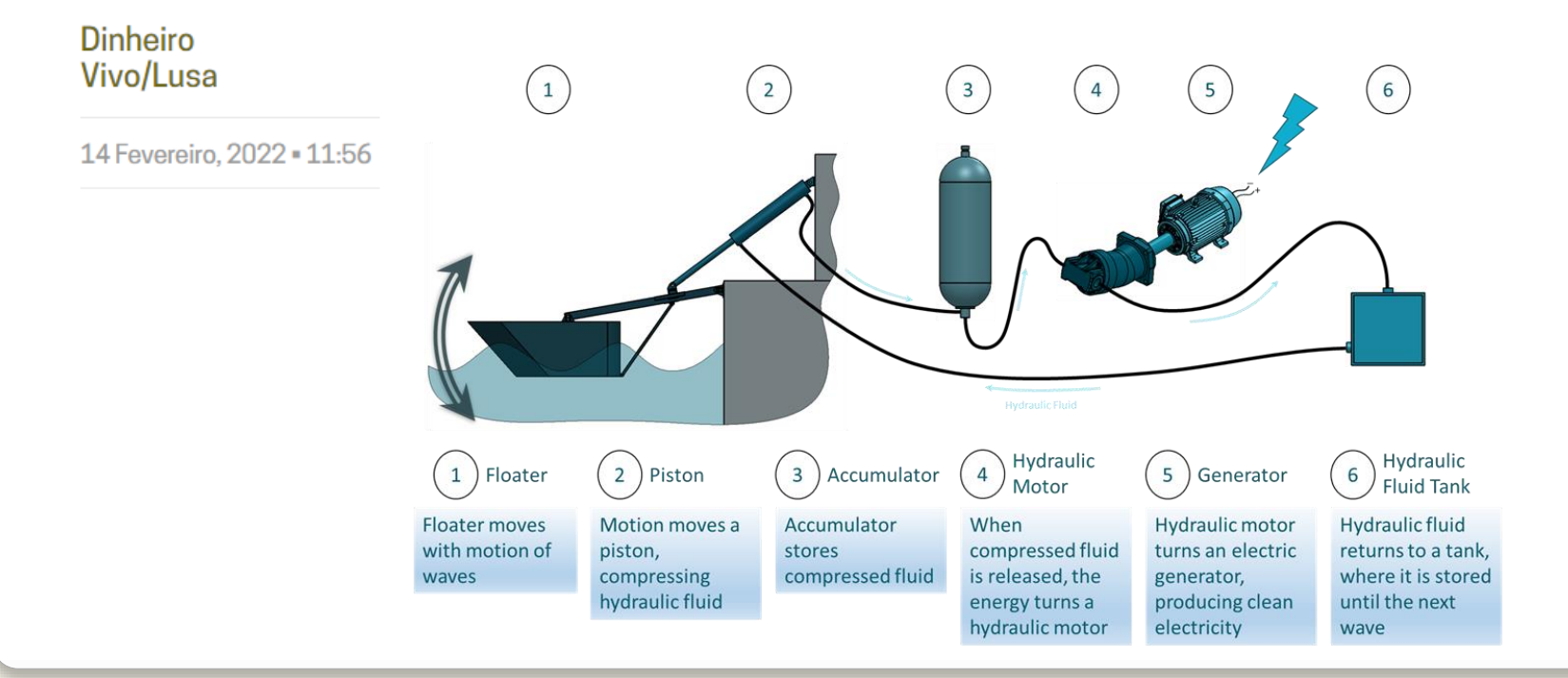


#### Barra do Douro (1 MW) | Atenuador (12.5 kW/dispositivo)



# Barra do rio Douro terá flutuadores para produção de energia a partir das ondas

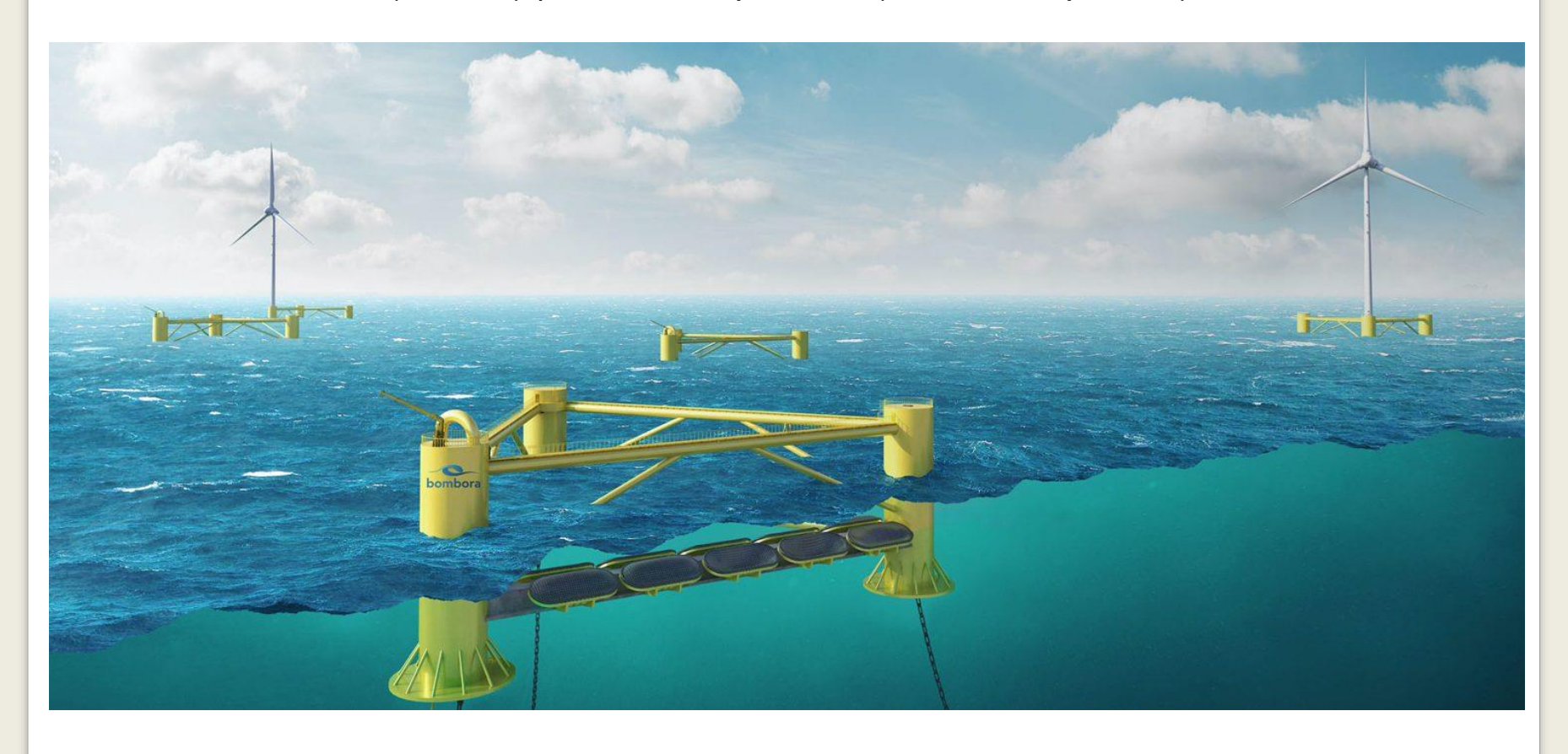
Projeto-piloto de 10 anos será desenvolvido pela empresa EW Portugal a partir do molhe norte da barra do Douro, concelho do Porto.



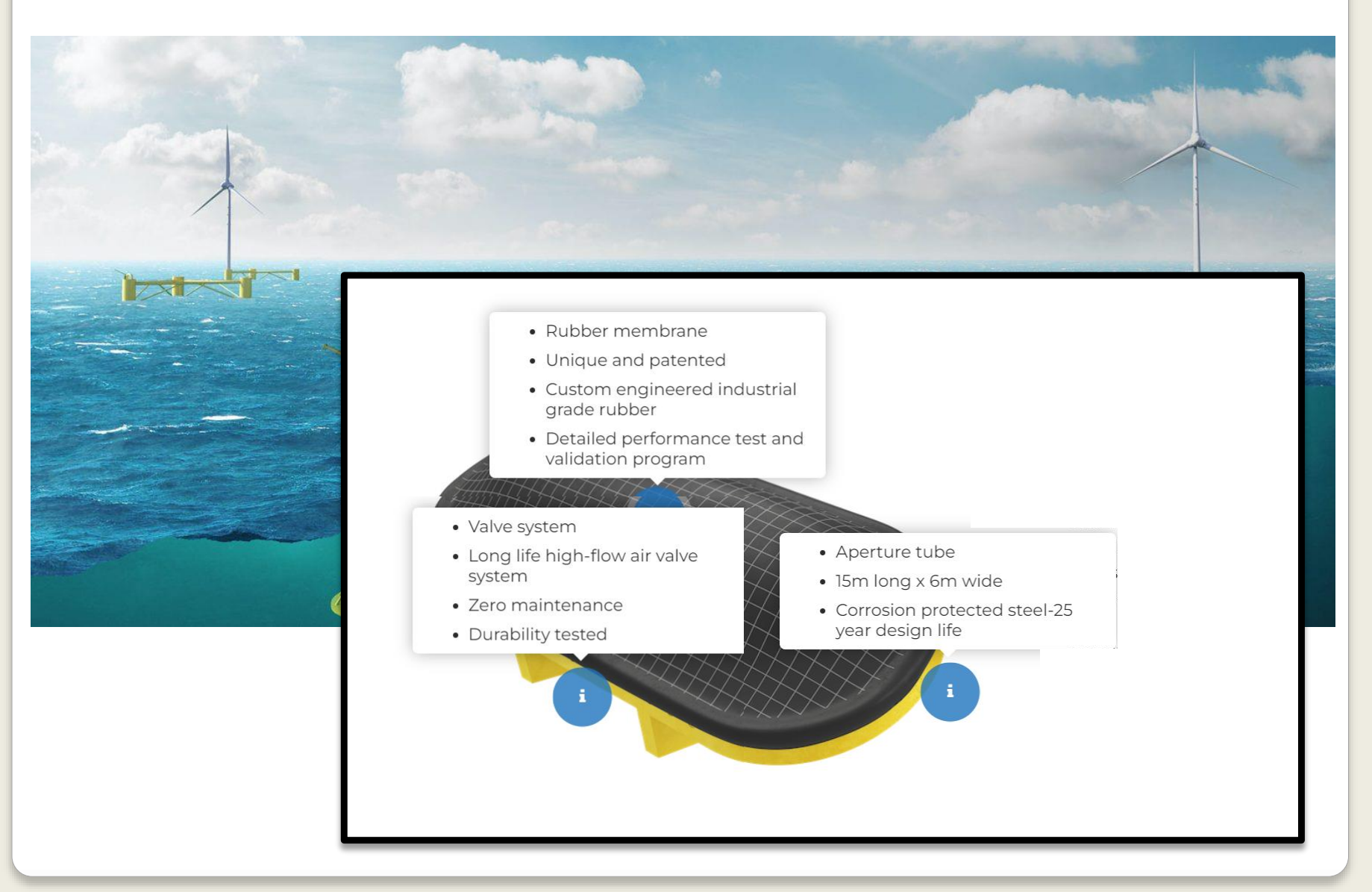
#### Waveroller – Peniche (300 kW) - 2020



#### **mWave** – Peniche (64 MW) | Diferencial pressão (1.5 MW/dispositvo)



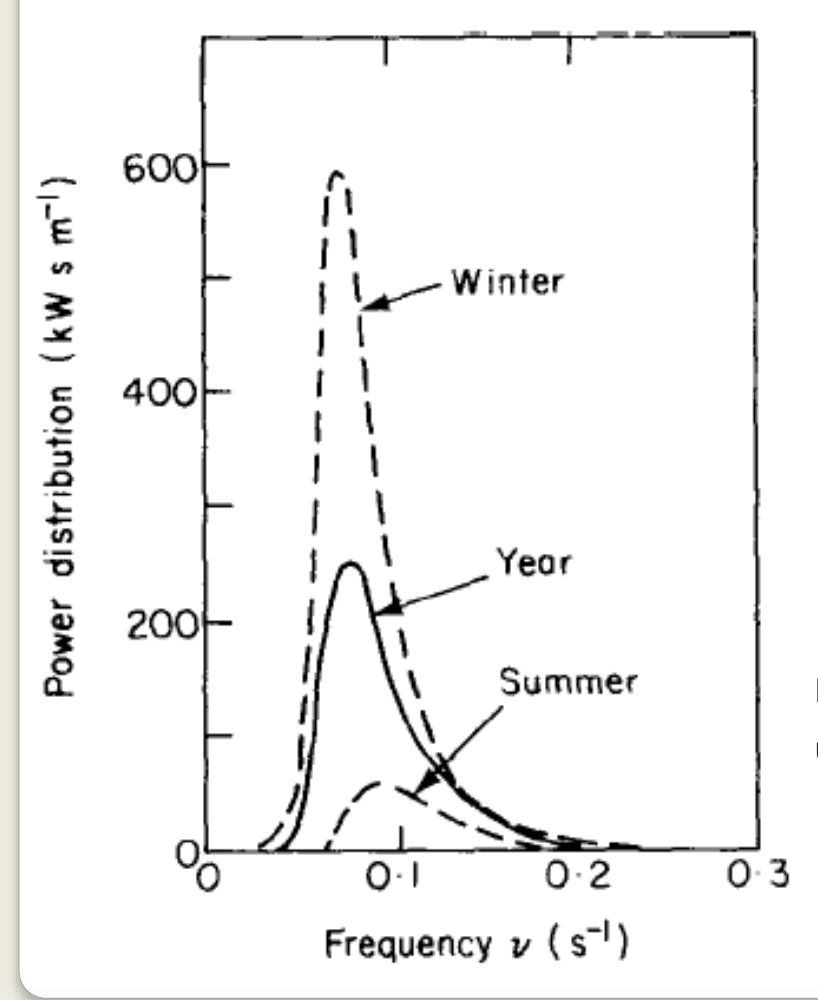
#### mWave – Peniche (64 MW) | Diferencial pressão (1.5 MW/dispositvo)



# Energia das ondas em Portugal

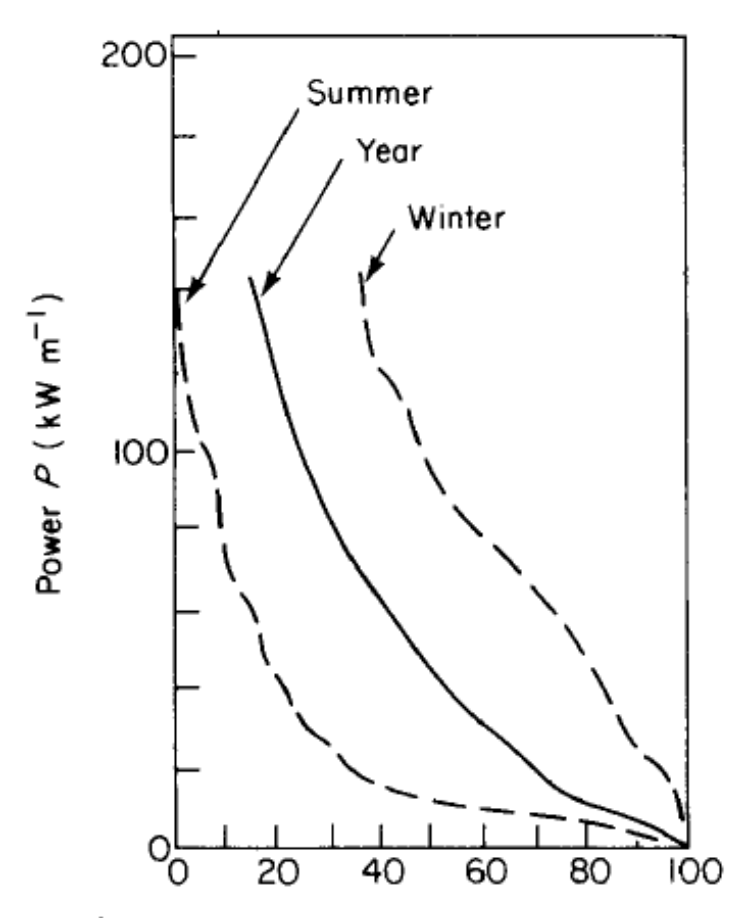


#### Variabilidade sazonal



Distribuição de frequências de potência das ondas para um ano de observações para a estação India (59ºN; 19ºW) no Atlântico Norte. [Mollison et al 1976]

#### Factor de capacidade



Curca de duração de potência das ondas para um ano de observações para a estação India (59°N; 19°W) no Atlântico Norte. [Mollison et al 1976]

 $% = 10^{-6}$  of time during which power exceeds  $P = 10^{-6}$ 

#### Densidade energética

<u>Pelamis</u>

750kW

700 toneladas (incluindo 350 ton de balasto; logo 350 ton de aço)

E portanto 500kg/kW

Difilmente será economicamente competitivo. Se aproveitamente da energia das ondas for possível, vento offshore ainda será mais!

Custos de transmissão podem ser proibitivos, especialmente porque potencial diminui com a proximidade à costa.

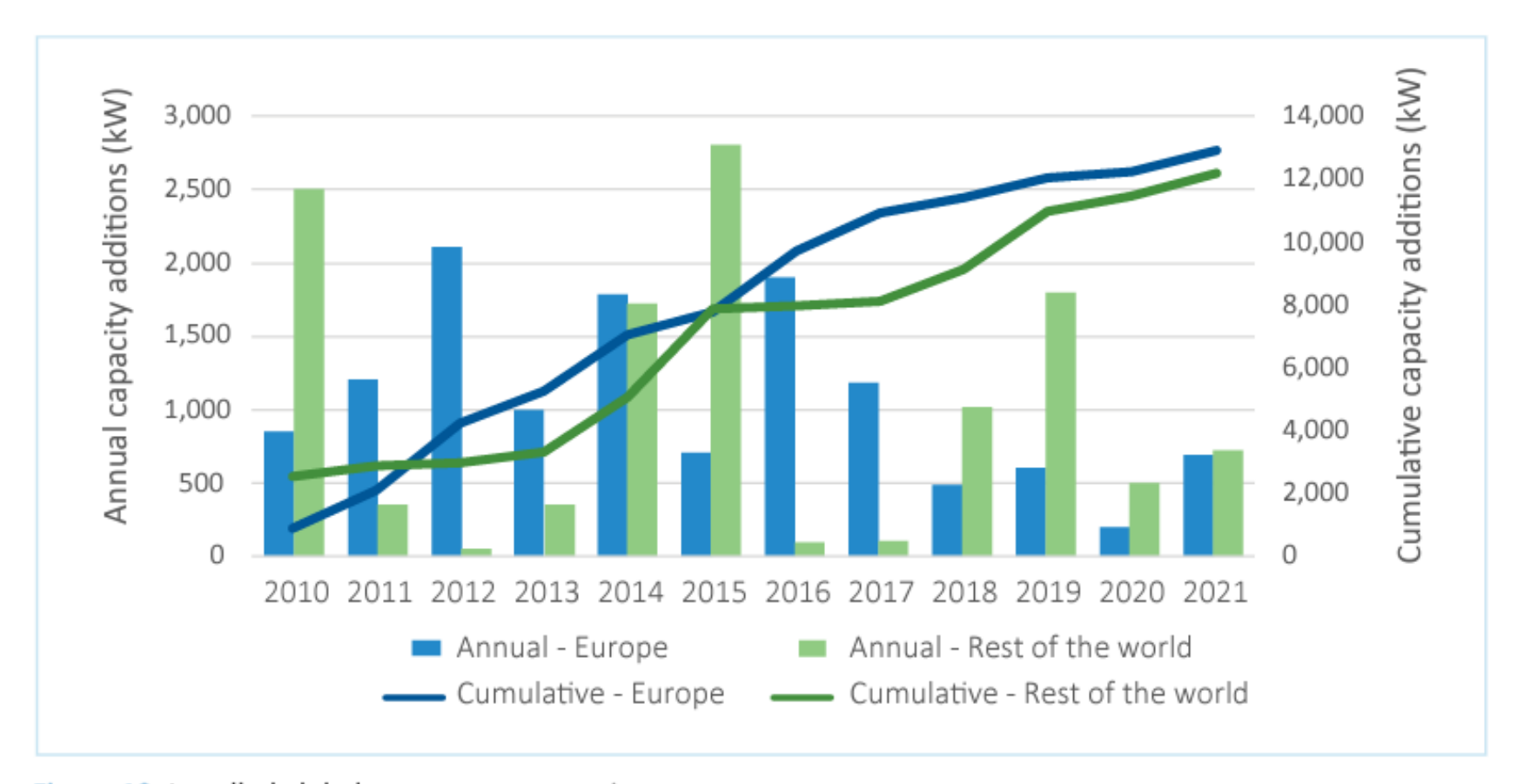


Figure 10: Installed global wave energy capacity

Source: Ocean Energy Europe

Recurso potencial **abundante**, com sazonalidade mas variabilidade inter-diária pouco significativa e previsível.

Mas...

**Complexidade** da tecnologia (dezenas de anos de desenvolvimento e nenhuma solução é reconhecida como capaz)

**Custos** de instalação (e.g. conversores, amarras, ligação elétrica submarina, etc.) e manutenção são muito elevados



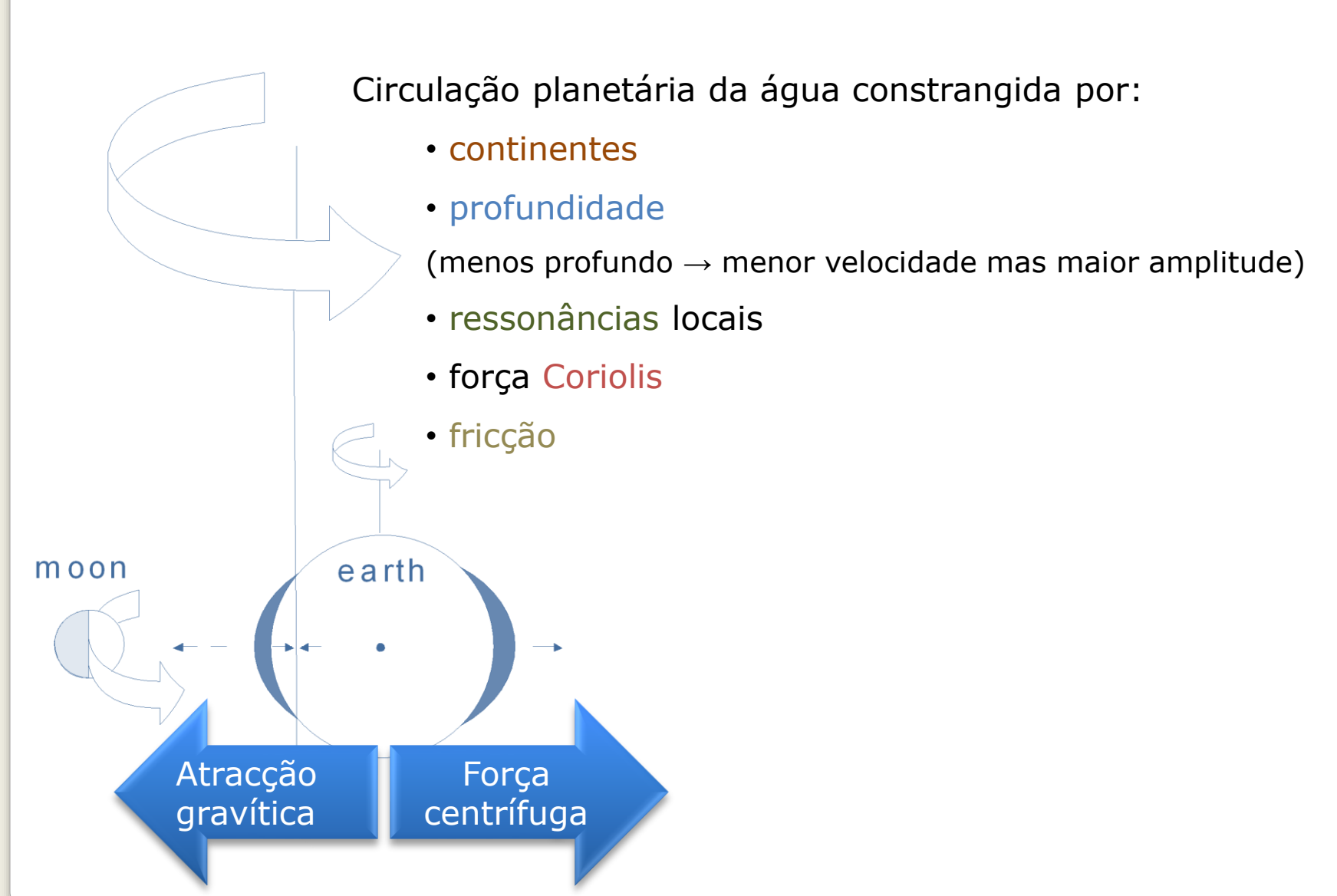
Período de rotação da Lua

em torno da Terra: 28 dias

Período de rota da Lua

em torno de si própria: 28 dias

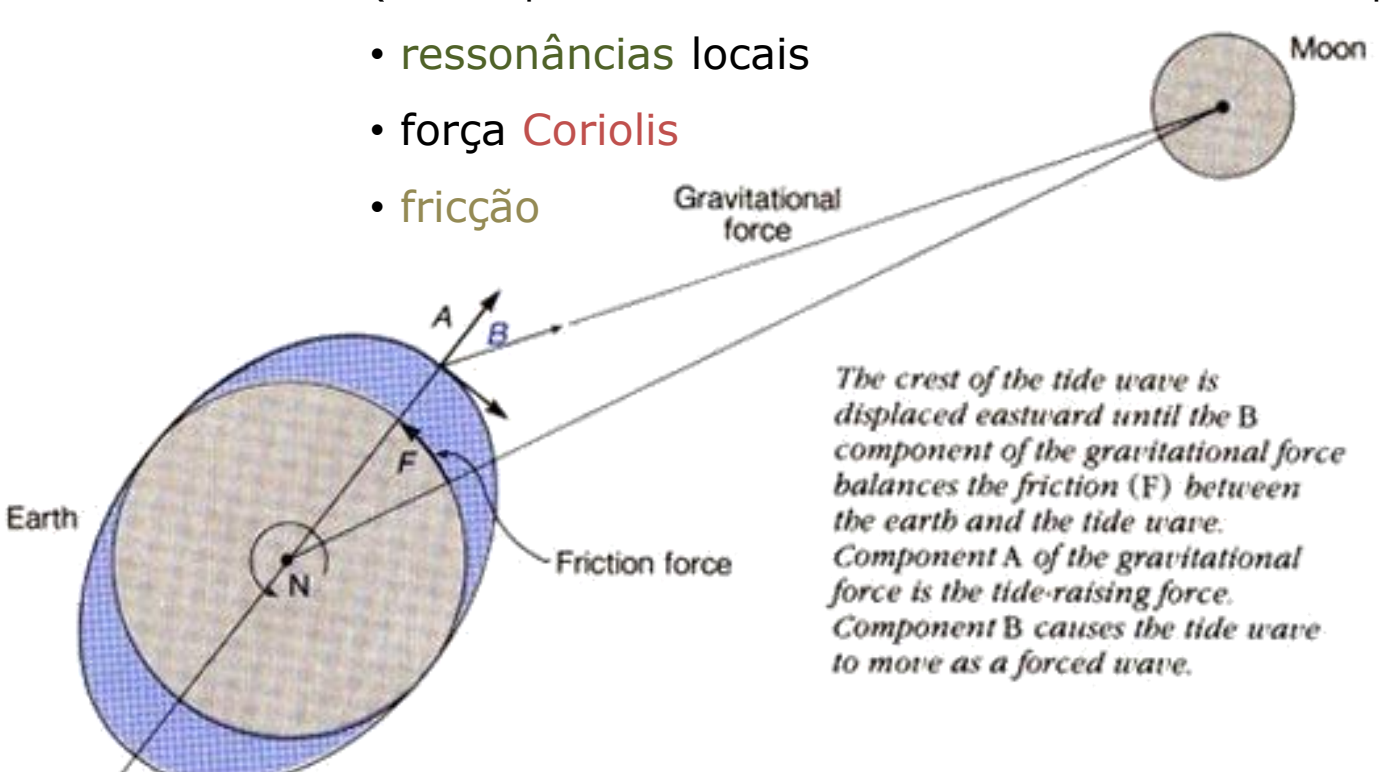
A face da Lua que *olha* para a Terra é sempre a mesma!

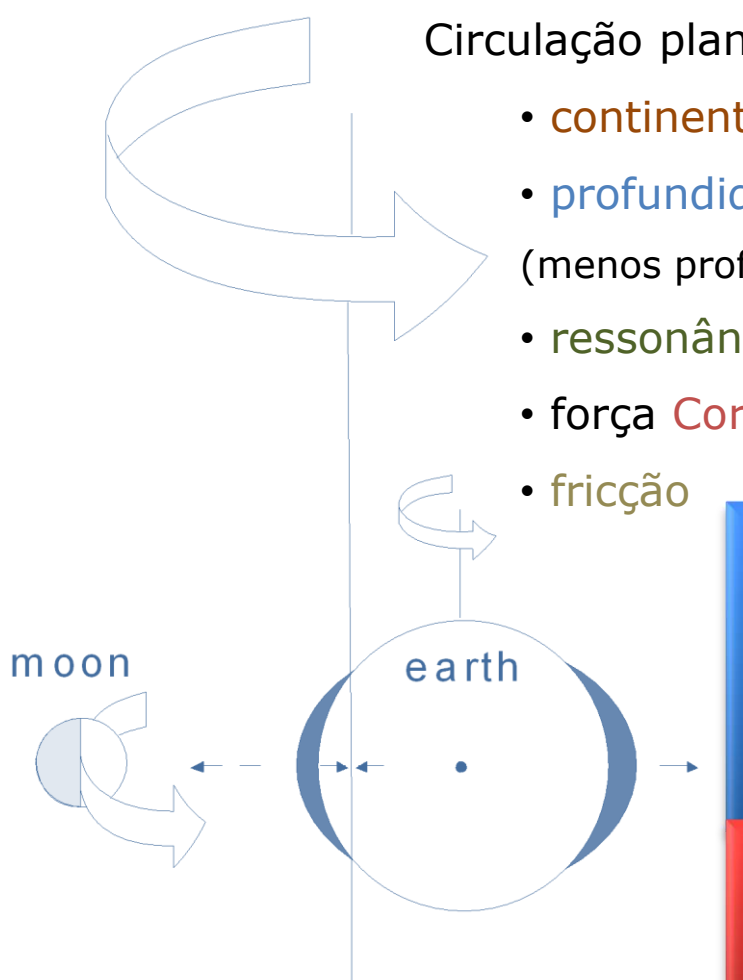


### Circulação planetária da água constrangida por:

- continentes
- profundidade

(menos profundo → menor velocidade mas maior amplitude)





Circulação planetária da água constrangida por:

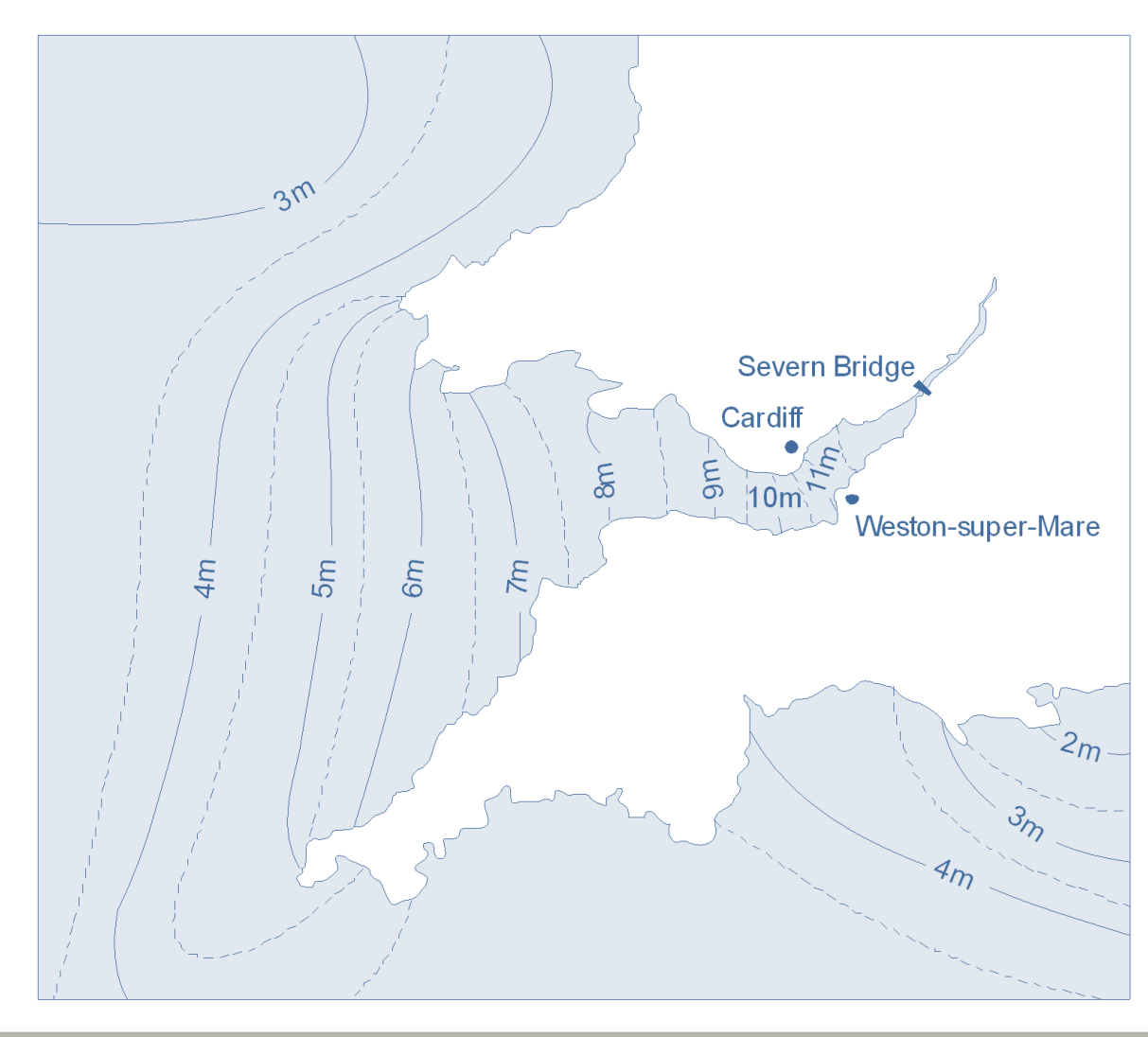
- continentes
- profundidade

(menos profundo → menor velocidade mas maior amplitude)

- ressonâncias locais
- força Coriolis

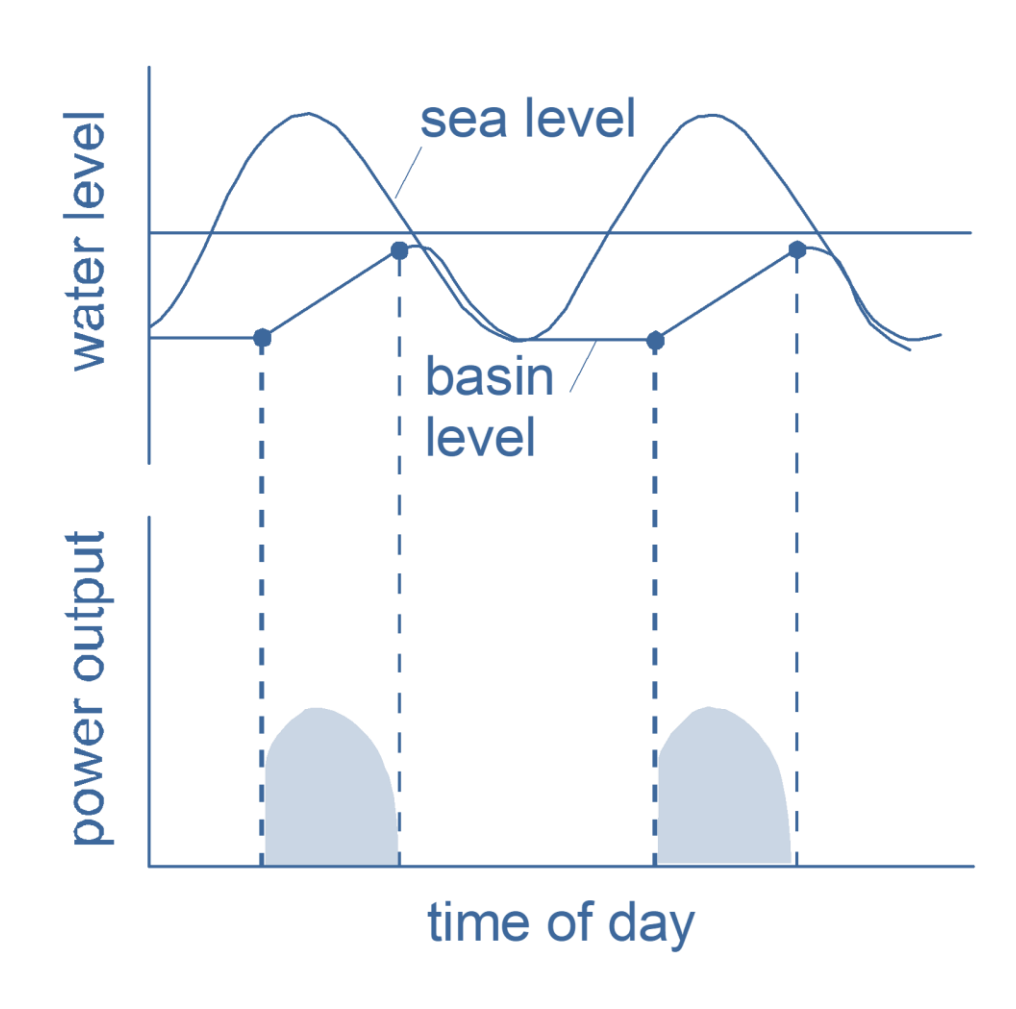
Atracção gravítica do Sol é muito maior mas efeito nas marés quase irrelevante porque distância ao Sol é muito maior do que o diâmetro do Terra.

As marés vivas resultam do alinhamento regular entre a Lua-Terra e o Sol (na lua cheia e lua nova.)

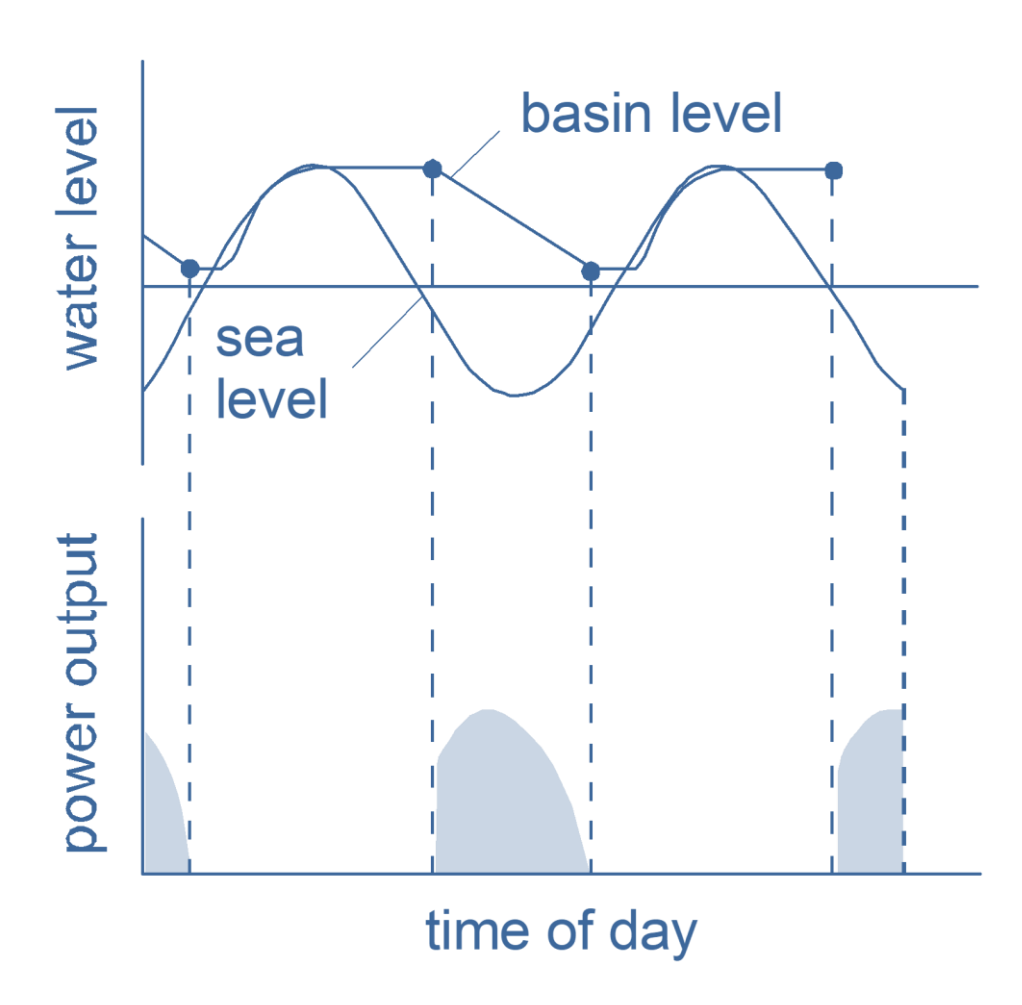


Estuário de Svern, UK

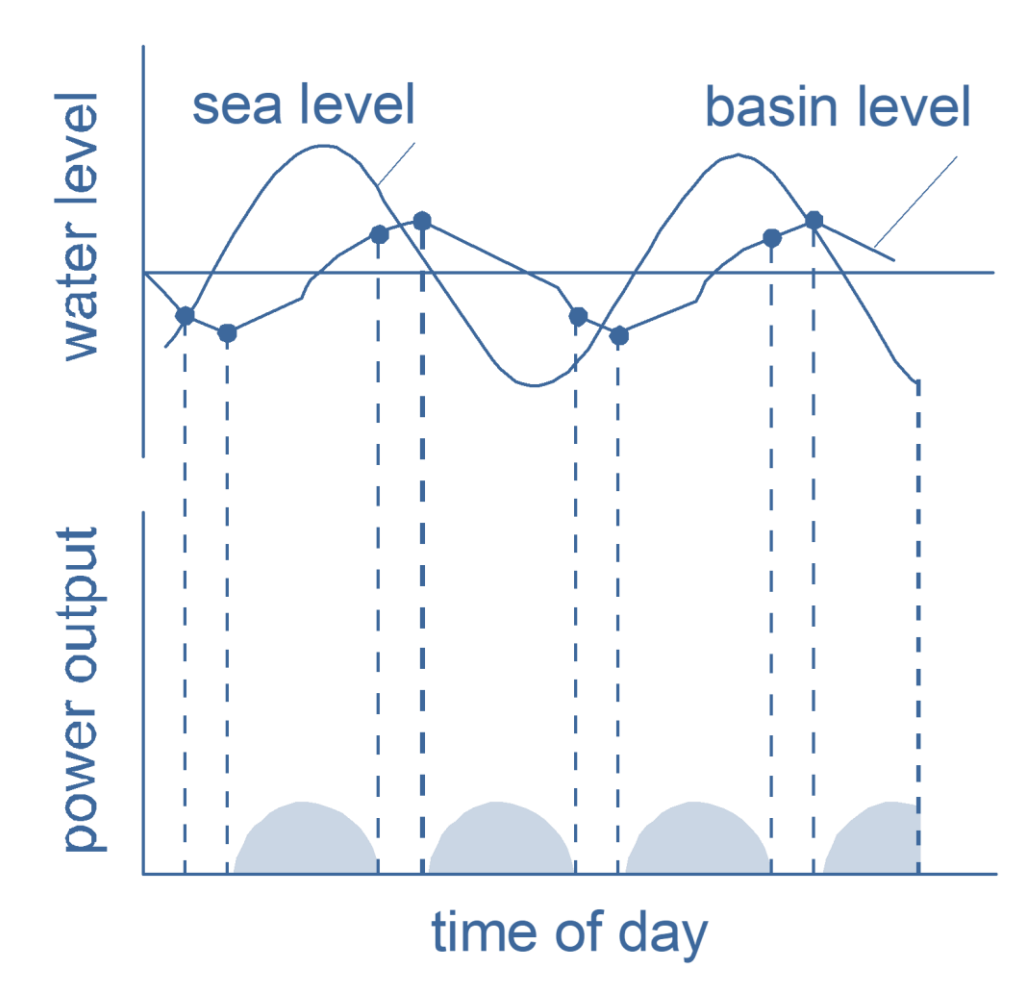
Aproveitando a subida da maré



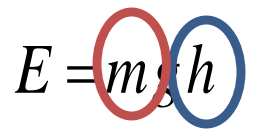
Aproveitando a descida da maré



Aproveitando a subida e a descida da maré



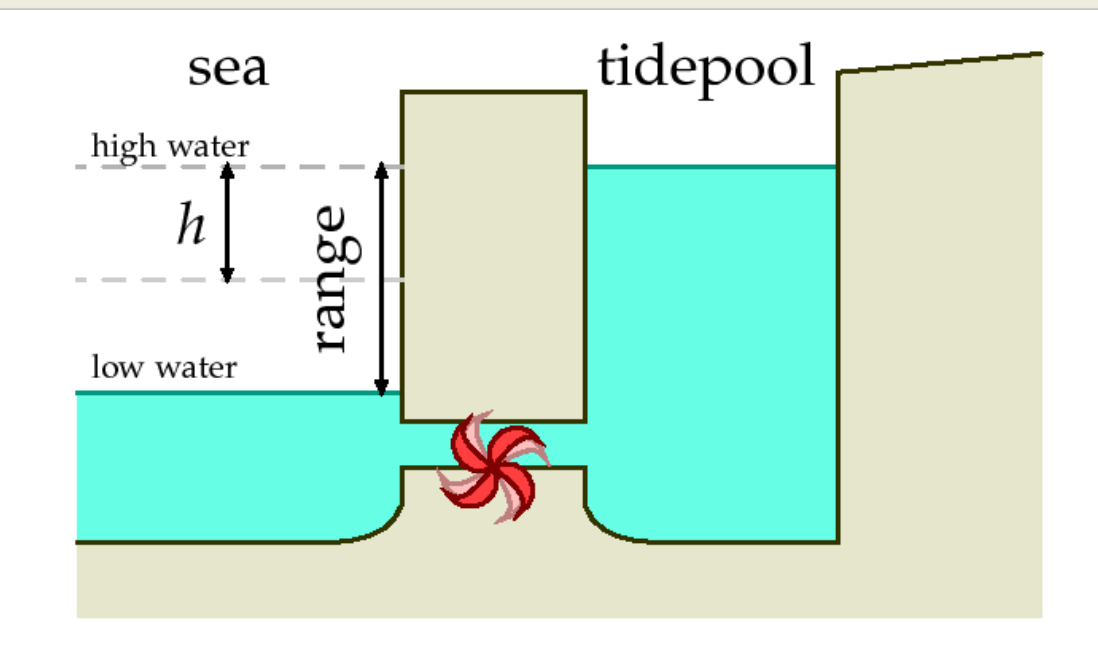
### **Recurso**



½ amplitude de maré

Por unidade de área:

$$m = 2h\rho$$



## Potência disponível:

$$P = \frac{(2h\rho)gh}{T}$$
 6 horas!

$$E = \varepsilon_g 2g \rho h^2$$
Eficiência de geração = 0.90

1 GW: 300 km<sup>2</sup>, i.e. diâmetro 20 km

### Recurso

Uma ideia:



Se vamos ter que dimensionar parede para as marés vivas, podíamos aproveitar para bombear água na maré alta e assim maximizar a potência instalada.

Melhor ainda, porque não aumentar a parede um pouco mais, e bombear mais água na maré alta?

\_\_tidepool

### Recurso

Melhor ainda, porque não aumentar a parede um pouco mais, e bombear mais água na maré alta?

sea

Qual a altura óptima da parede: quando o benefício é igual ao que gastamos em bombagem...

$$\frac{b}{\varepsilon_p} = \varepsilon_g(b+2h)$$
retorno marginal da água extra

 $\varepsilon_{g} = 0.90$  geração  $\varepsilon_{p} = 0.85$  bombagem  $\varepsilon_{g} \times \varepsilon_{p} \approx 0.75$  global

custo marginal da bombagem

$$b = \frac{2\varepsilon}{1-\varepsilon}h$$
 Se  $h=2m$ , parede tem  $2h=4m$  então  $b=13m$  (4x mais alto)

tidepool

### Recurso

Melhor ainda, porque não aumentar a parede um pouco mais, e bombear mais água na maré alta?

sea

Qual a altura óptima da parede: quando o benefício é igual ao que gastamos em bombagem...

# Sem bombagem

$$E_t = \varepsilon_g \, 2g \, \rho h^2$$

 $\varepsilon_{g} = 0.90$  geração

 $\varepsilon_p = 0.85$  bombagem

 $\varepsilon_{g} \times \varepsilon_{p} \approx 0.75$  global

## Com bombagem

$$E = \frac{1}{2} \varepsilon_g g \rho (b + 2h)^2 - \frac{1}{2} g \rho \frac{1}{\varepsilon_p} b^2 = \varepsilon_g 2g \rho h^2 \left( \frac{1}{1 - \varepsilon} \right)$$

$$=\frac{1}{1-\varepsilon}E_t$$

Parede 4x mais alta, 4x mais energia, mas custos aumentam com  $h^2$  e portanto não é viável; seria melhor alargar a barragem horizontalmente!

Station Name	La Rance[7]	Kislaya Guba[9]	$\rm Jiangxia[10]$	${\bf Annapolis}[11]$	Sihwa[8]
Country	France	Russia	China	Canada	South Korea
Capacity(MW)	240	1.7	3.9	20	254
Ann. Output(GWh)	540		6.5	30	553
Year	1966	1968	1980	1984	2015
Turbine Number	24	1	6	1	10
Turbine Type	Bulb	Savonius	Bulb	Rim	Bulb
Basin Area(km <sup>2</sup> )	22	1.1	1.4	15	56
Mean Tide/m	8.5	2.3	5.1	6.4	5.6



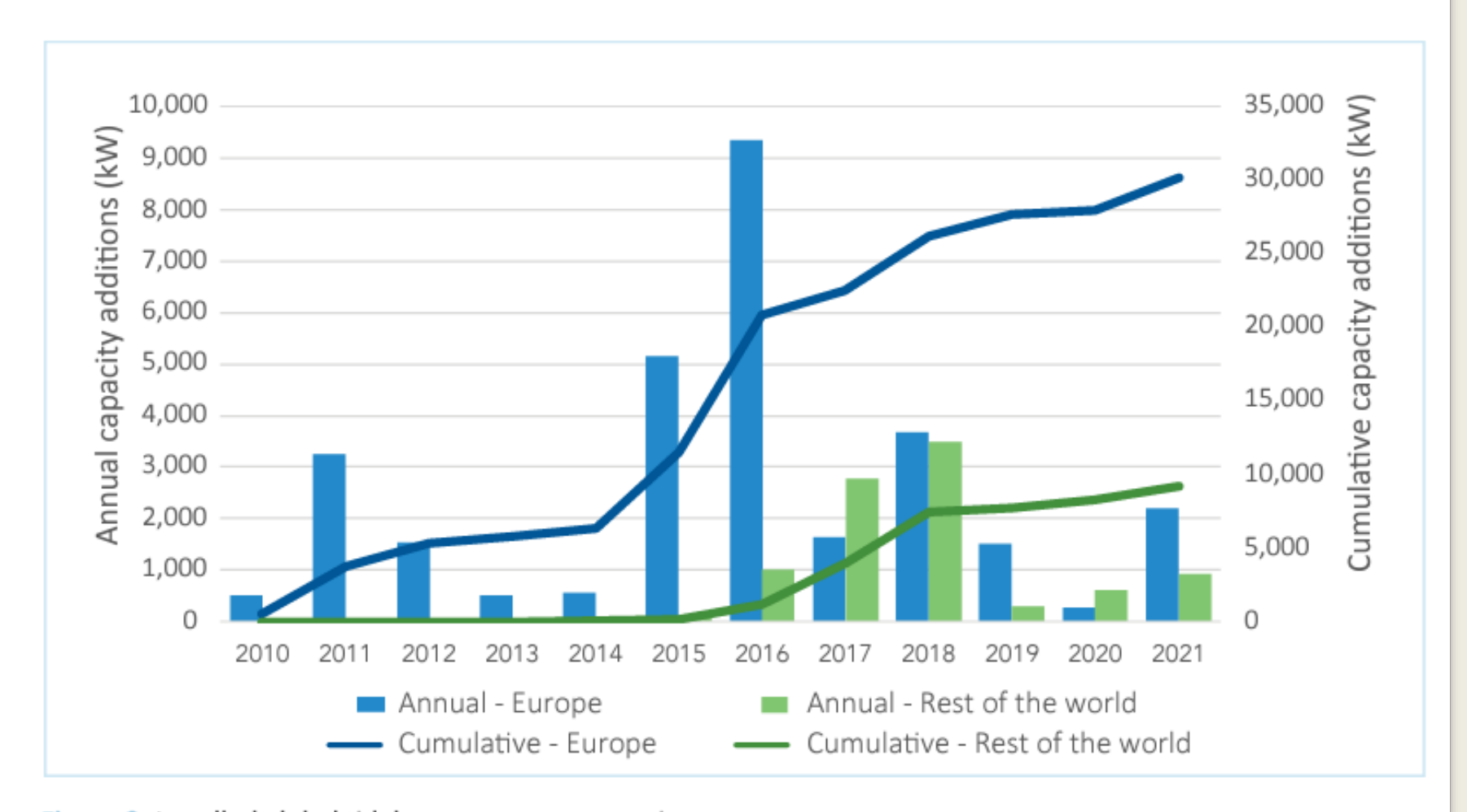
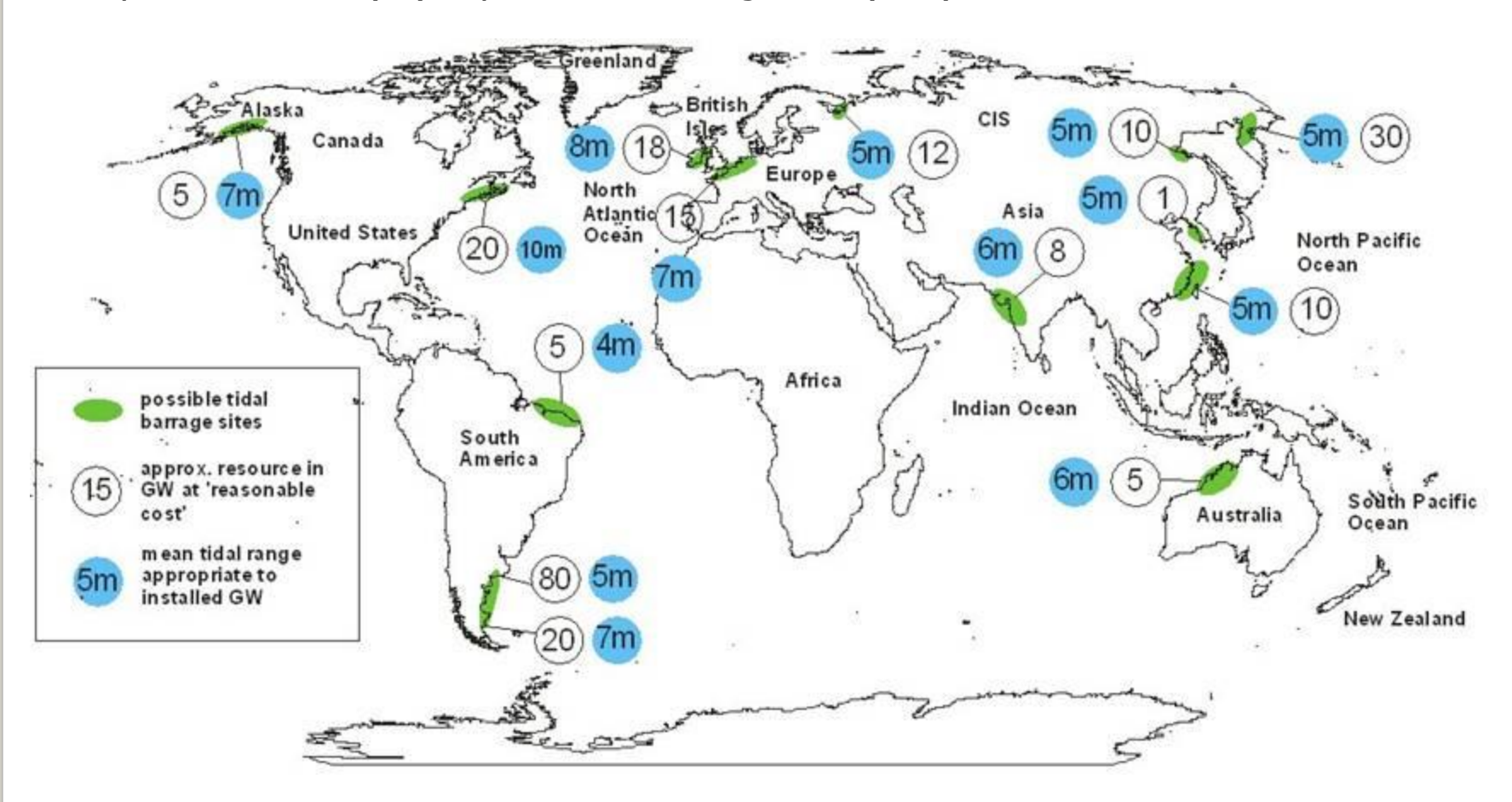


Figure 8: Installed global tidal stream energy capacity

Source: Ocean Energy Europe

Amplitude maré (m) e potencial energético (GW)



### **Impactos ambientais**

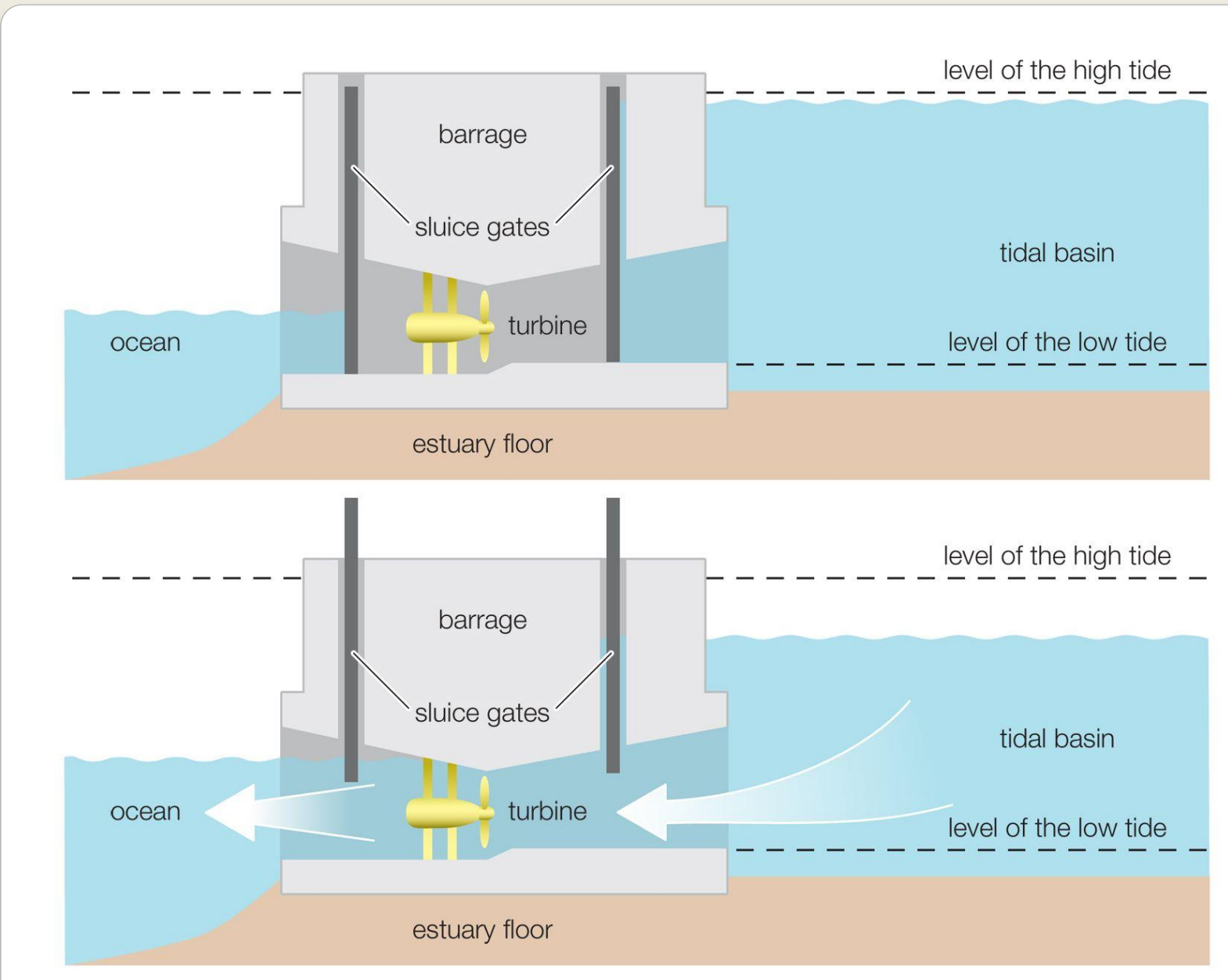
- redução variação do nível de água pode afectar mobilidade espécies marinhas, com potencial impacto nas populações de aves aquáticas e/ou migratórias
- redução da salinidade no reservatório estuário
- menor transporte de sedimentos pode provocar águas mais cristalinas,
   e portanto maior produtividade biológica (alteração ecossistema)
   associada a mais radiação solar
- sedimentos/nutrientes podem ficar retidos na barragem, com potenciais impactos nas zonas costeiras/praias

## **Impactos sociais**

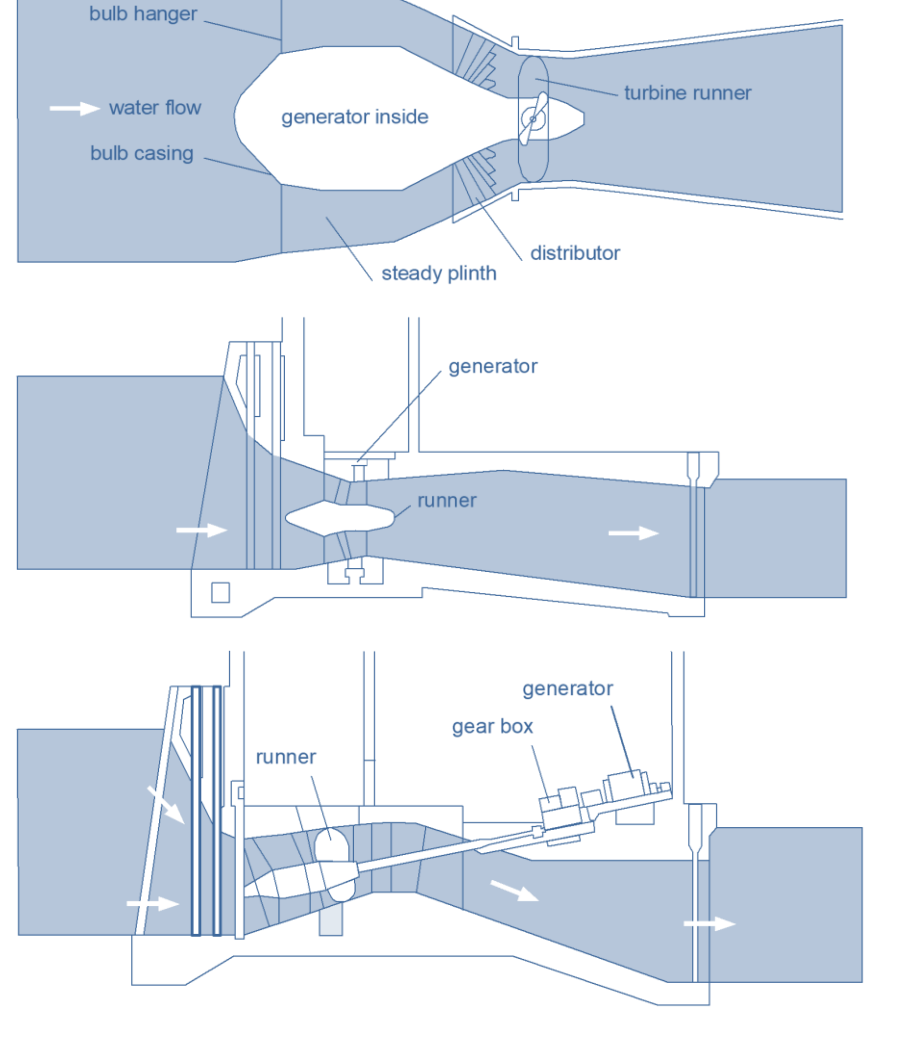
- Conflito com pesca e turismo;
- Mas potencial de criação de emprego local.

### **Desafios técnicos**

- Corrosão
- Manutenção subaquática
- Custo de instalação.



© 2011 Encyclopædia Britannica, Inc.



Turbina de maré 'Bulb'

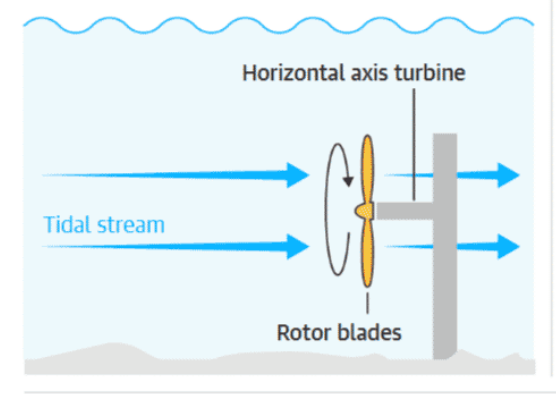
Turbina de maré 'Stratflow'

Turbina de maré 'tubular'

### How tidal power generators capture energy from the natural ebb and flow of the oceans

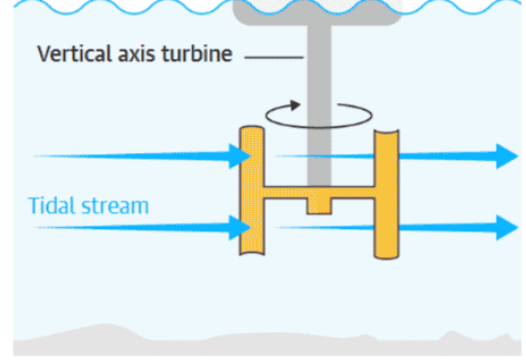
### Tidal stream: horizontal axis device

Similar to a wind turbine. The tidal stream turns rotor blades to generate power



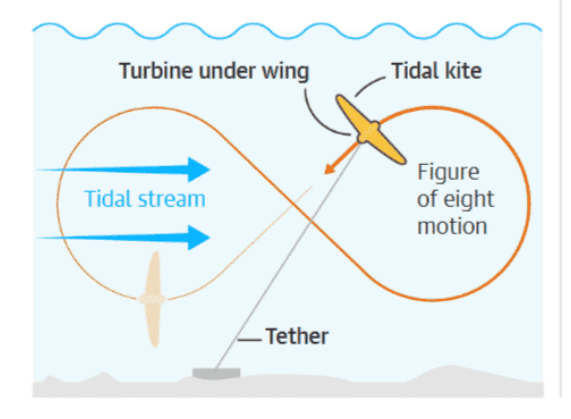
### Tidal stream: vertical axis turbine

Uses two scoop-shaped blades rotating on a vertical axis to harness energy



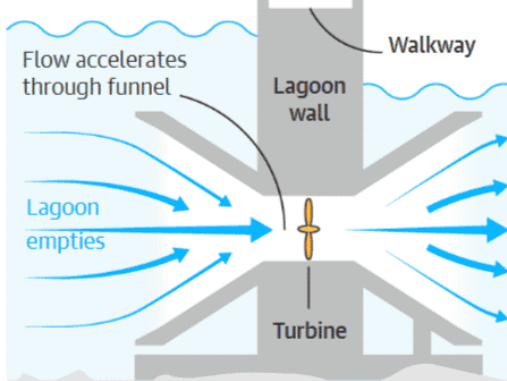
### Tidal kite

Kite 'flies' at speed in the tidal stream forcing water through a turbine fixed under its wing



### Tidal lagoons and barrage turbines

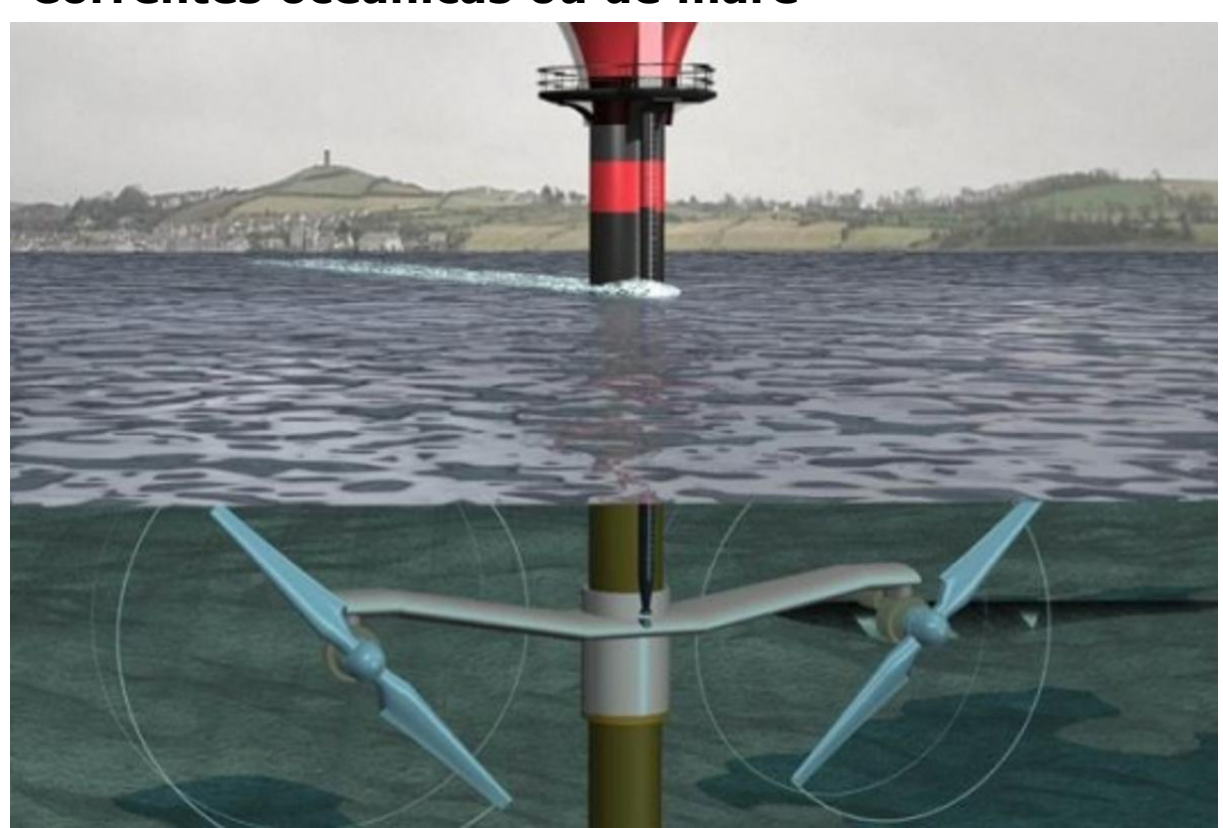
Installed in a sea-wall or tidal barrage, these can be reversible to generate power from incoming and outgoing tides



Guardian graphic. Source: The European Marine Energy Centre

### **ENERGIA DAS ONDAS**

### Correntes oceânicas ou de maré

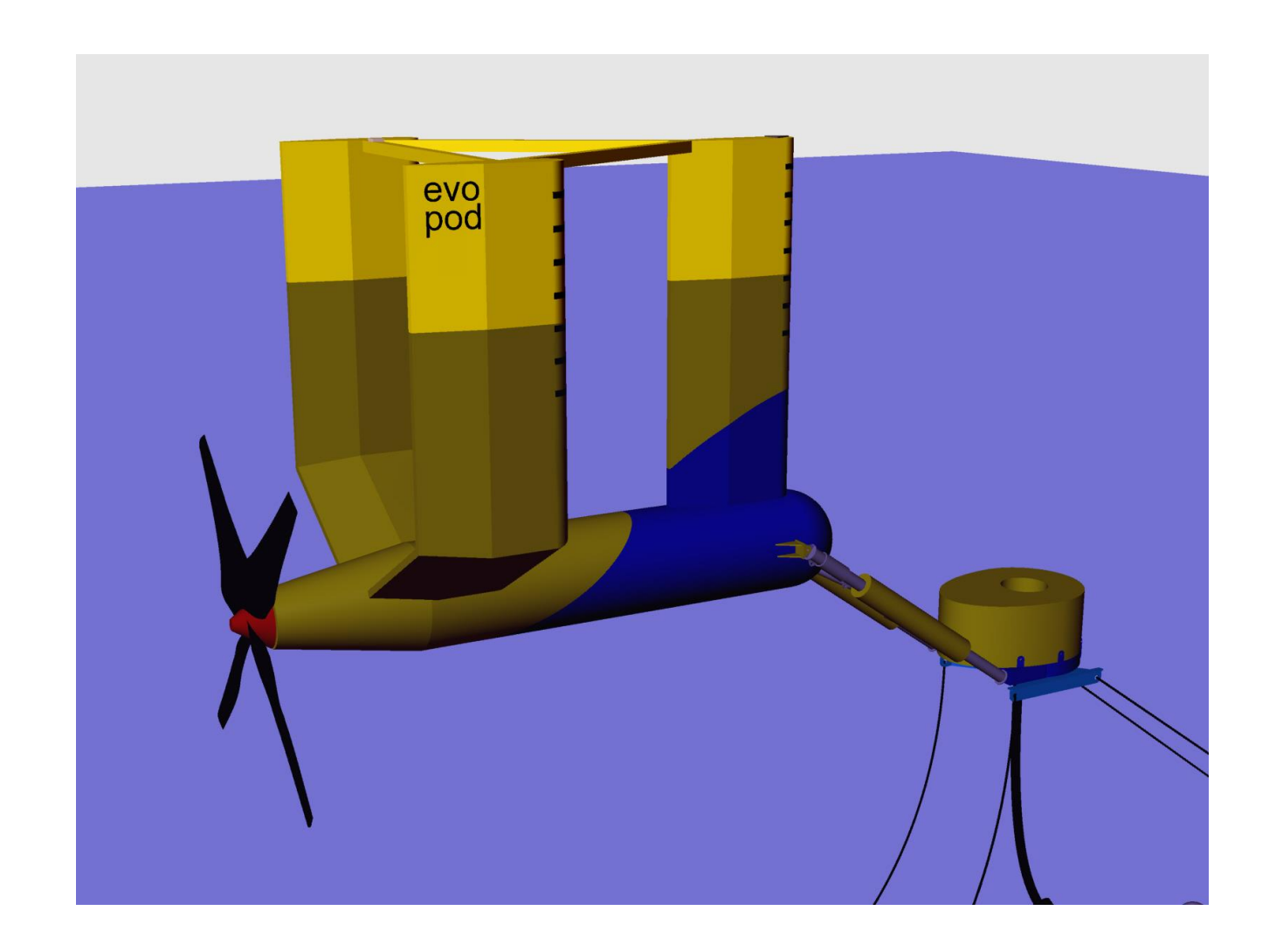


$$ho_{
m iny agua}>>
ho_{
m iny ar}$$

Turbina Ø10-15m pode produzir 200-700kW







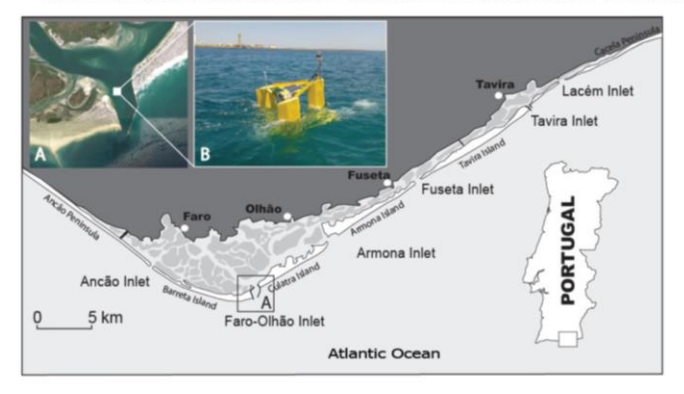
### Energy 158 (2018) 89-104



# Deployment characterization of a floatable tidal energy converter on a tidal channel, Ria Formosa, Portugal

A. Pacheco <sup>a, \*</sup>, E. Gorbeña <sup>a</sup>, T.A. Plomaritis <sup>a</sup>, E. Garel <sup>a</sup>, J.M.S. Gonçalves <sup>b</sup>, L. Bentes <sup>b</sup>, P. Monteiro <sup>b</sup>, C.M.L. Afonso <sup>b</sup>, F. Oliveira <sup>b</sup>, C. Soares <sup>c</sup>, F. Zabel <sup>c</sup>, C. Sequeira <sup>a</sup>

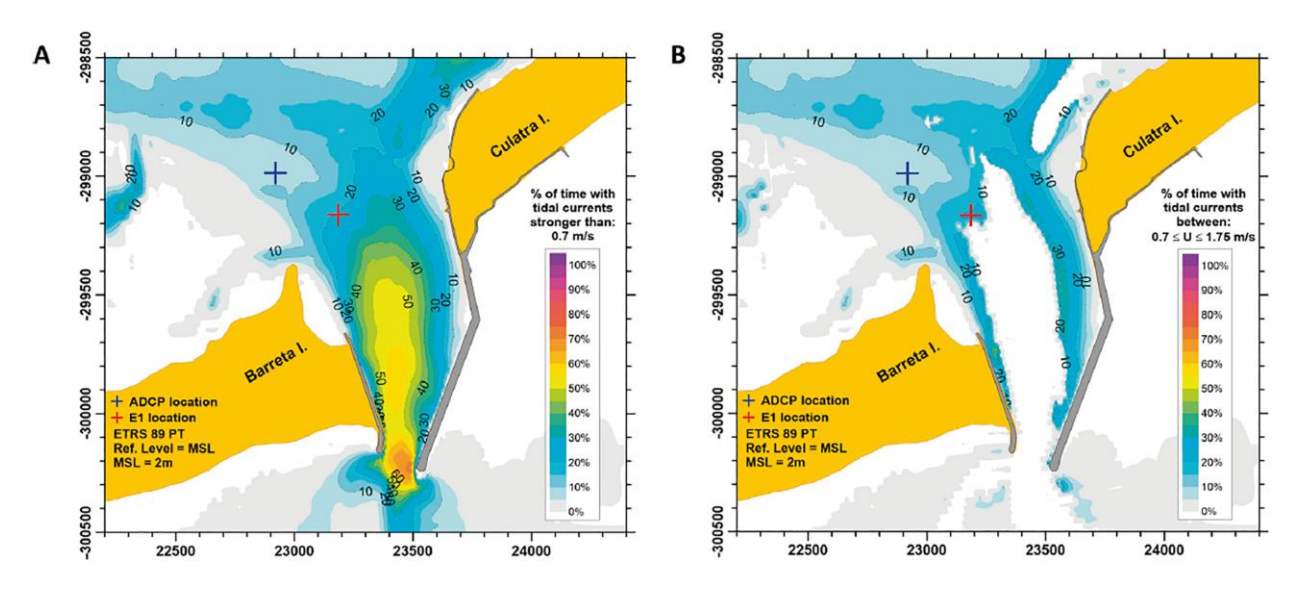
- <sup>a</sup> CIMA, University of Algarve Ed7, Campus de Gambelas 8005-139 Faro, Portugal
- b Centro de Cièncias do Mar (CCMAR), University of Algarve, Campus de Gambelas, 8005-139 Faro, Portugal
- <sup>c</sup> MarSensing Lda., Centro Empresarial Gambelas, Campus de Gambelas, Pavilhão B1, 8005-139 Faro, Portugal



**Fig. 1.** Deployment site adjacent to Faro-Olhão Inlet (A), the Faro Channel of Ria Formosa lagoon system (Algarve, Portugal), where E1 Evopod (B) operated. The channel is generally oriented NW–SE, has a length of 9 km, and covers an area of 337 km². The channel width is not constant, ranging from ~175 m to a maximum of ~625 m. The typical maximum depths along the channel range between 6 and 18 m (below mean sea level).



B



Percent of time during a 14-period simulation with occurrence of tidal currents for the Faro-Olhão: A) with velocities stronger than 0.7 m/s, and B) with velocities stronger than m/s and lower than 1.75 m/s.



Energy Volume 229, 15 August 2021, 120812



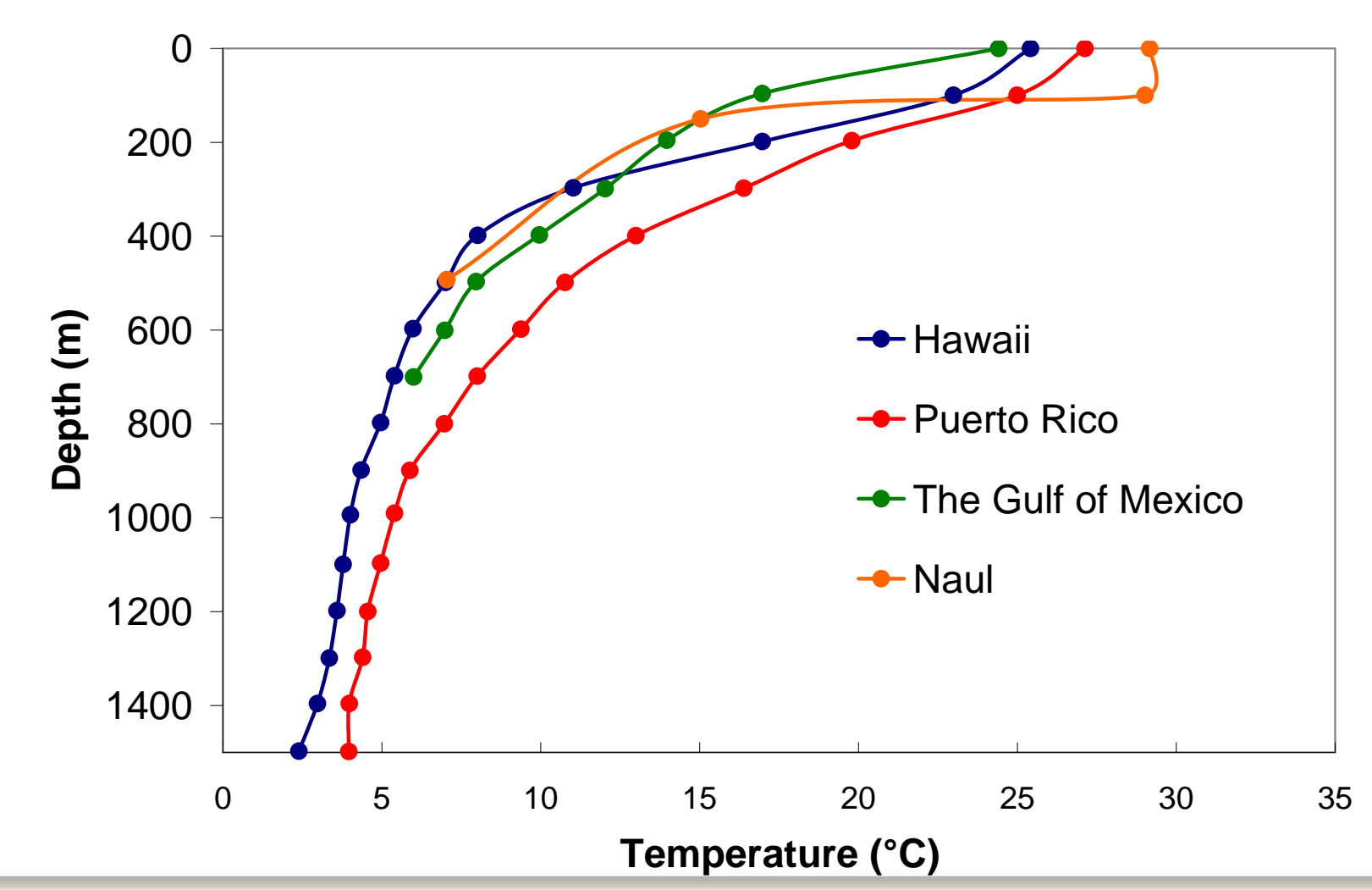
Cost-benefit analysis of tidal energy production in a coastal lagoon: The case of Ria Formosa – Portugal

N. Rodrigues <sup>a</sup>, P. Pintassilgo <sup>a</sup>, F. Calhau <sup>b</sup>, E. González-Gorbeña <sup>c</sup>, A. Pacheco <sup>c</sup> 🔉 🖾

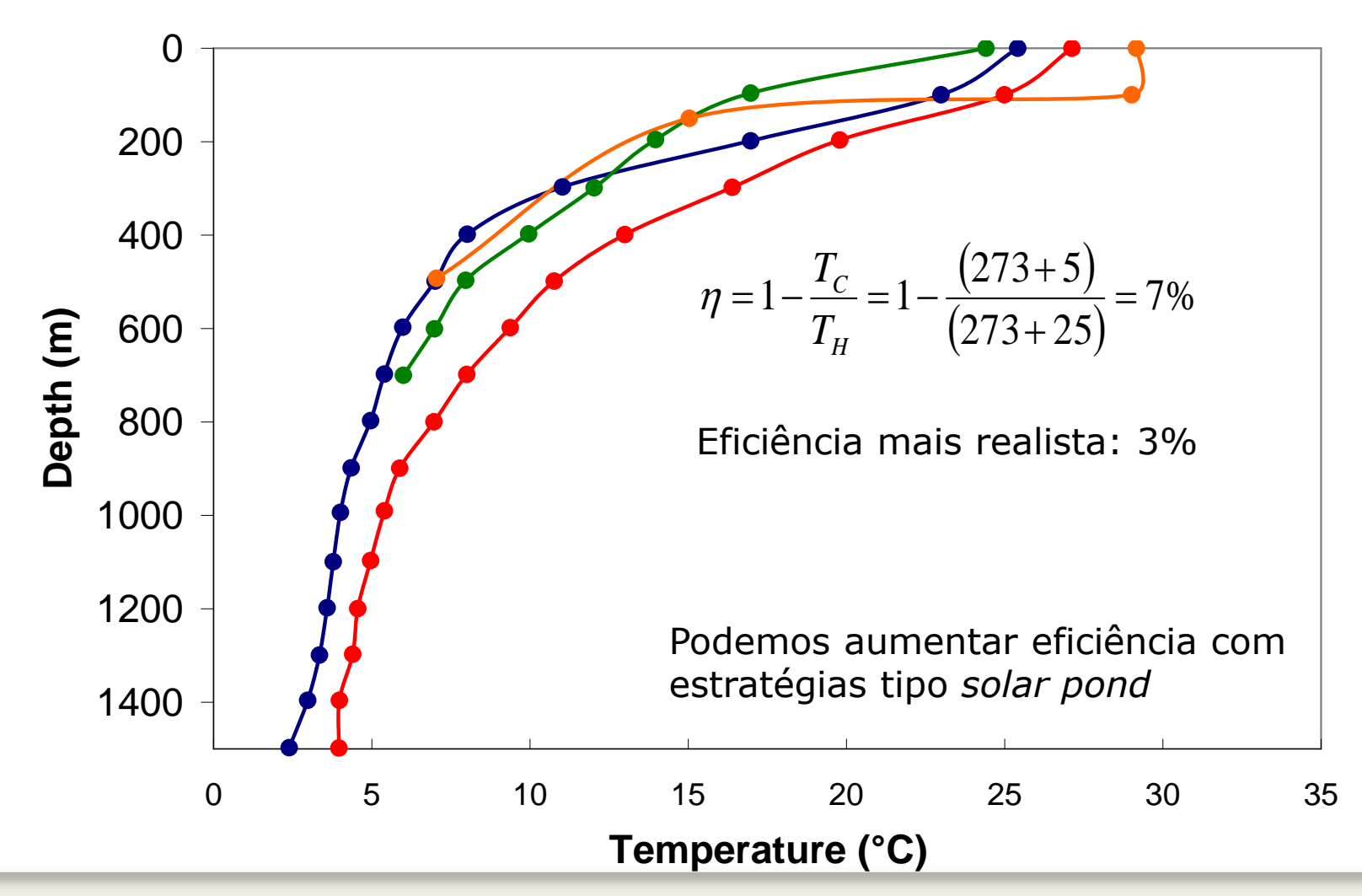
The hydro-economic model was applied to a tidal energy project using an Evopod 1:4th scale prototype, based on a real deployment of an Evopod 1:10th scale device in the Ria Formosa, Algarve. The results show that, under the current costs and benefits, the project is not economically viable.

# Gradiente térmico dos oceanos

OTEC – Ocean thermal energy conversion

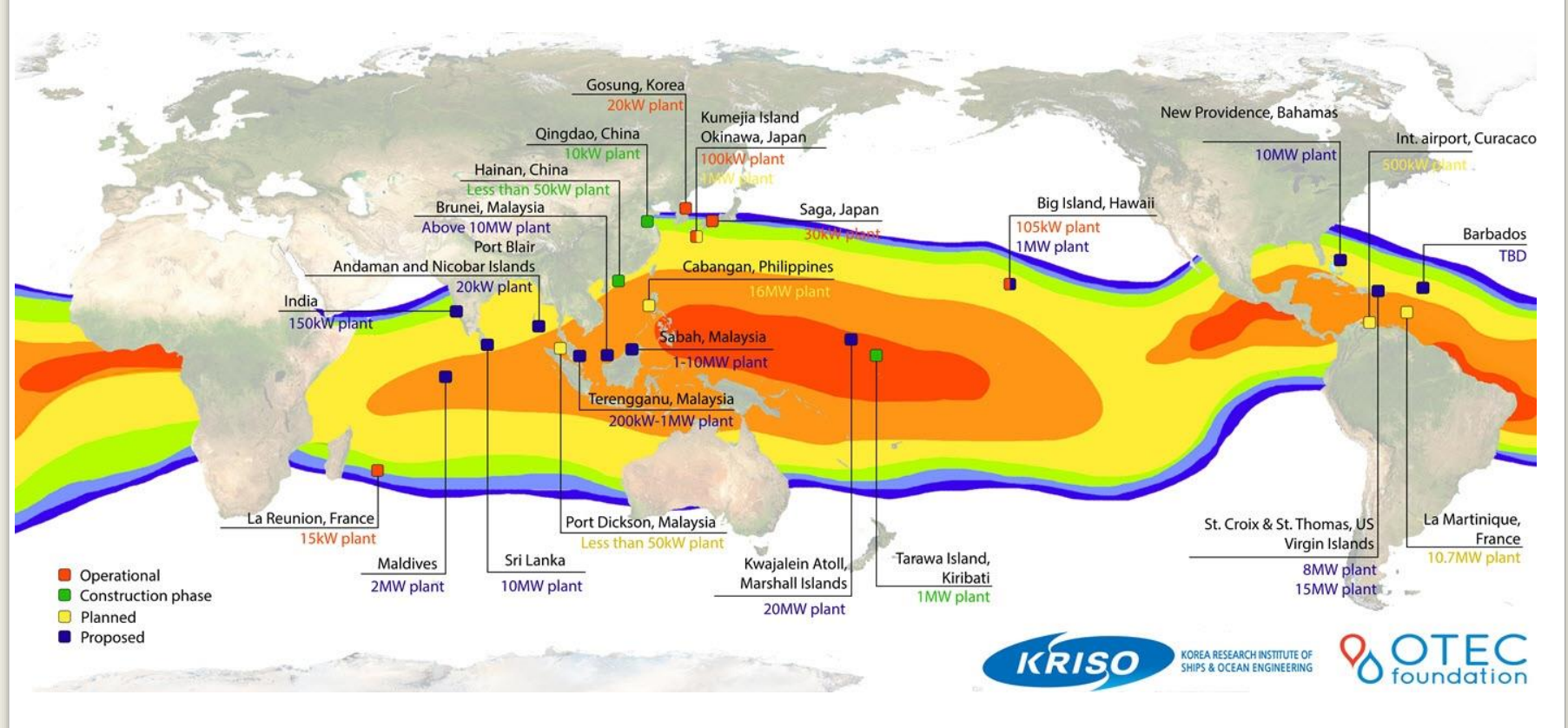


OTEC – Ocean thermal energy conversion

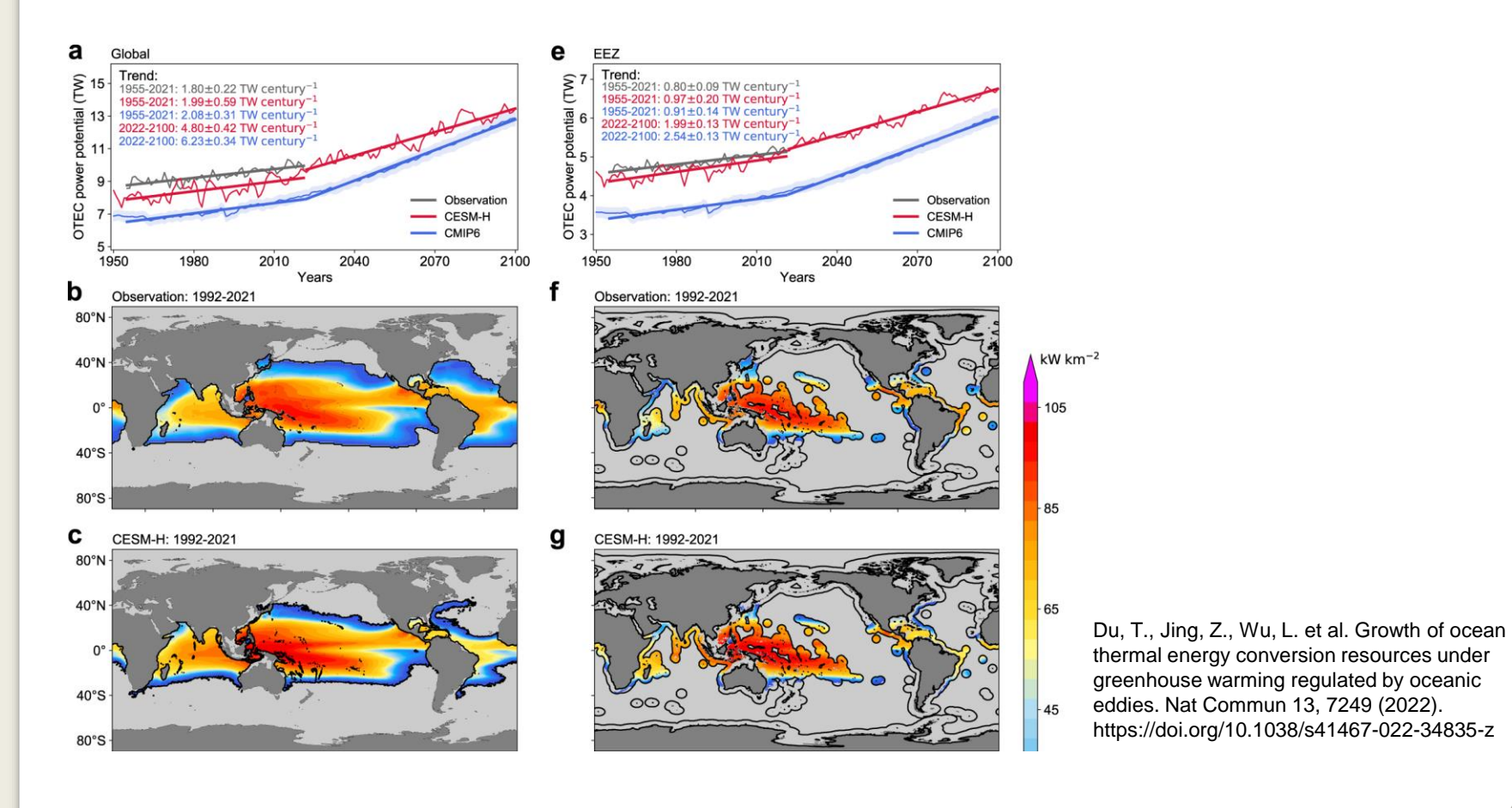


65

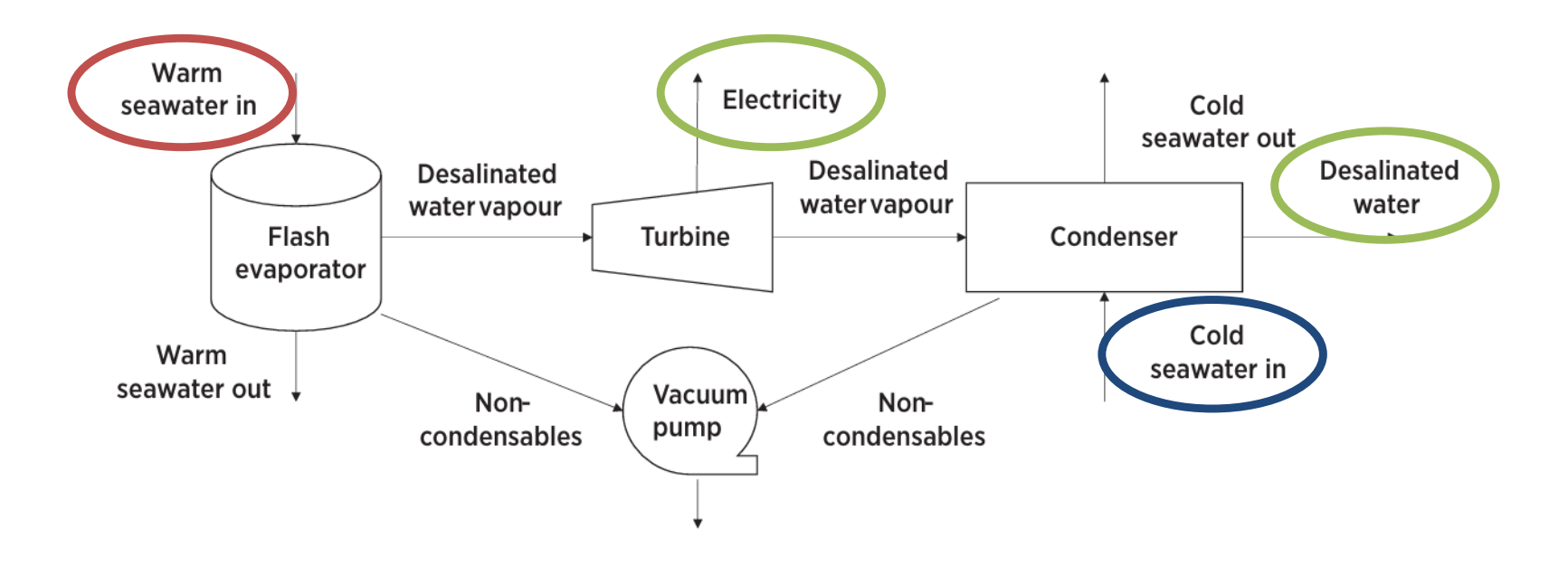
## OTEC – Ocean thermal energy conversion



### Potencial OTEC pode aumentar no futuro com as alterações climáticas

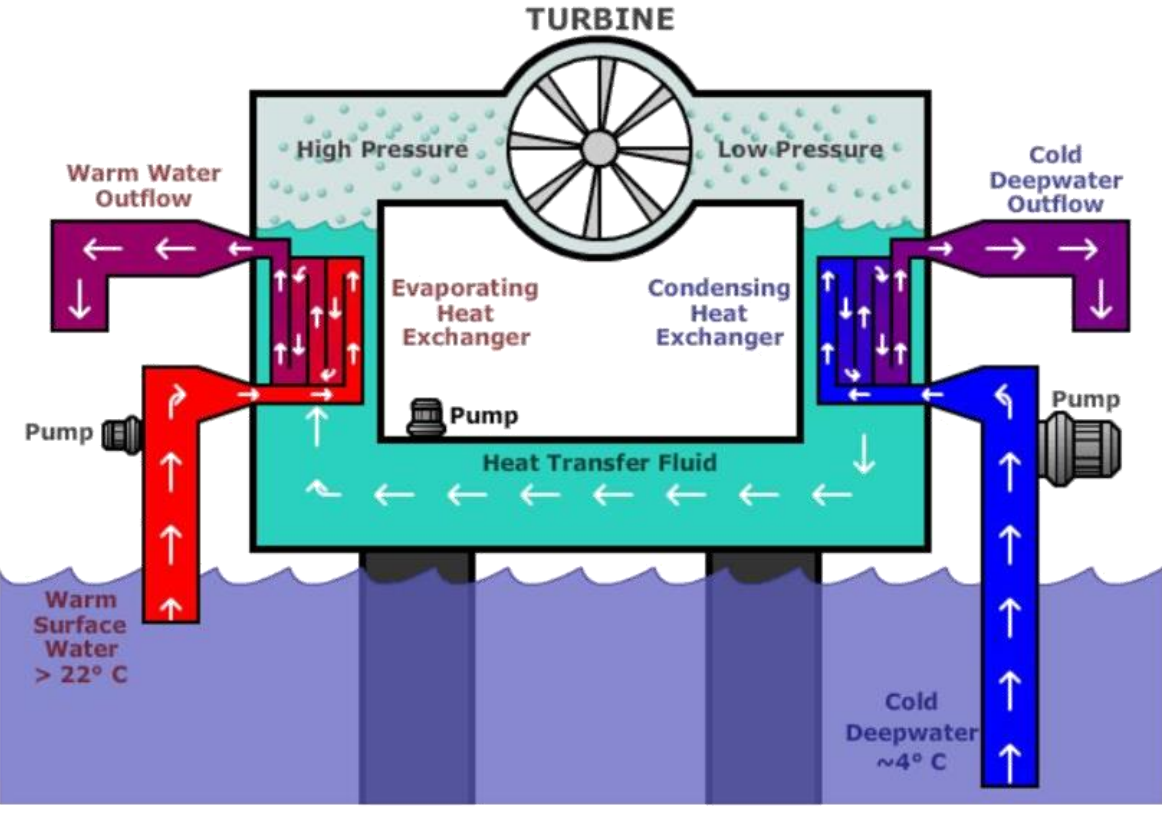


### Ciclo aberto



Utiliza diretamente a água do mar, e a água salgada pode ser um fator limitante devido ao risco de corrosão e contaminação.

### Ciclo fechado



Utiliza um fluido de trabalho específico (e.g. amónia), o que permite maior controlo sobre o processo e menos risco de contaminação, mas requer mais componentes, como permutadores de calor.

### Outros conceitos...

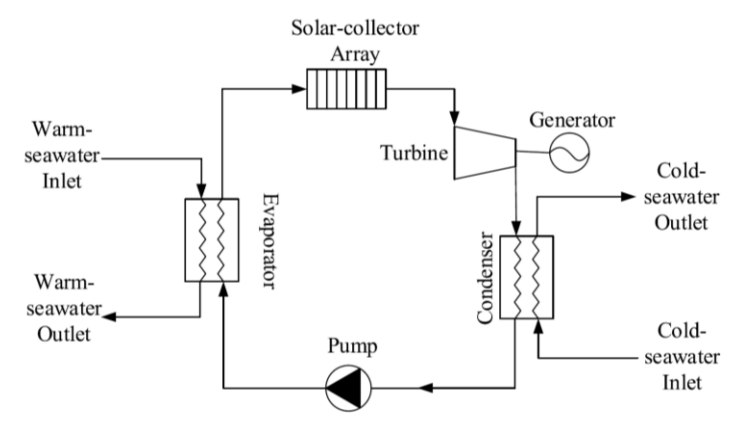


Fig. 1. A solar energy-reheating ocean thermal energy conversion cycle.

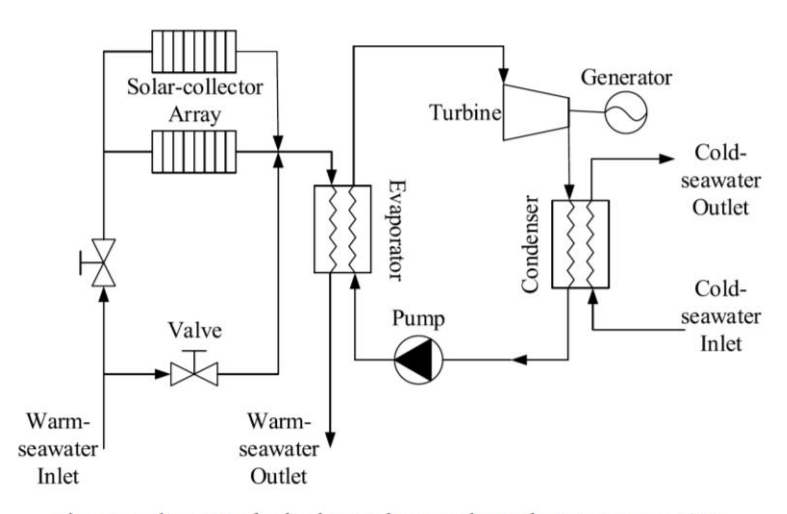


Fig. 2. A diagram of solar-boosted ocean thermal energy conversion.

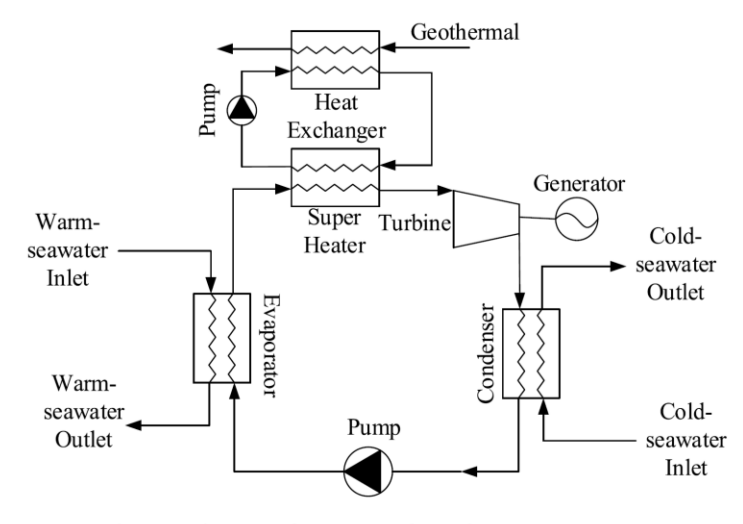
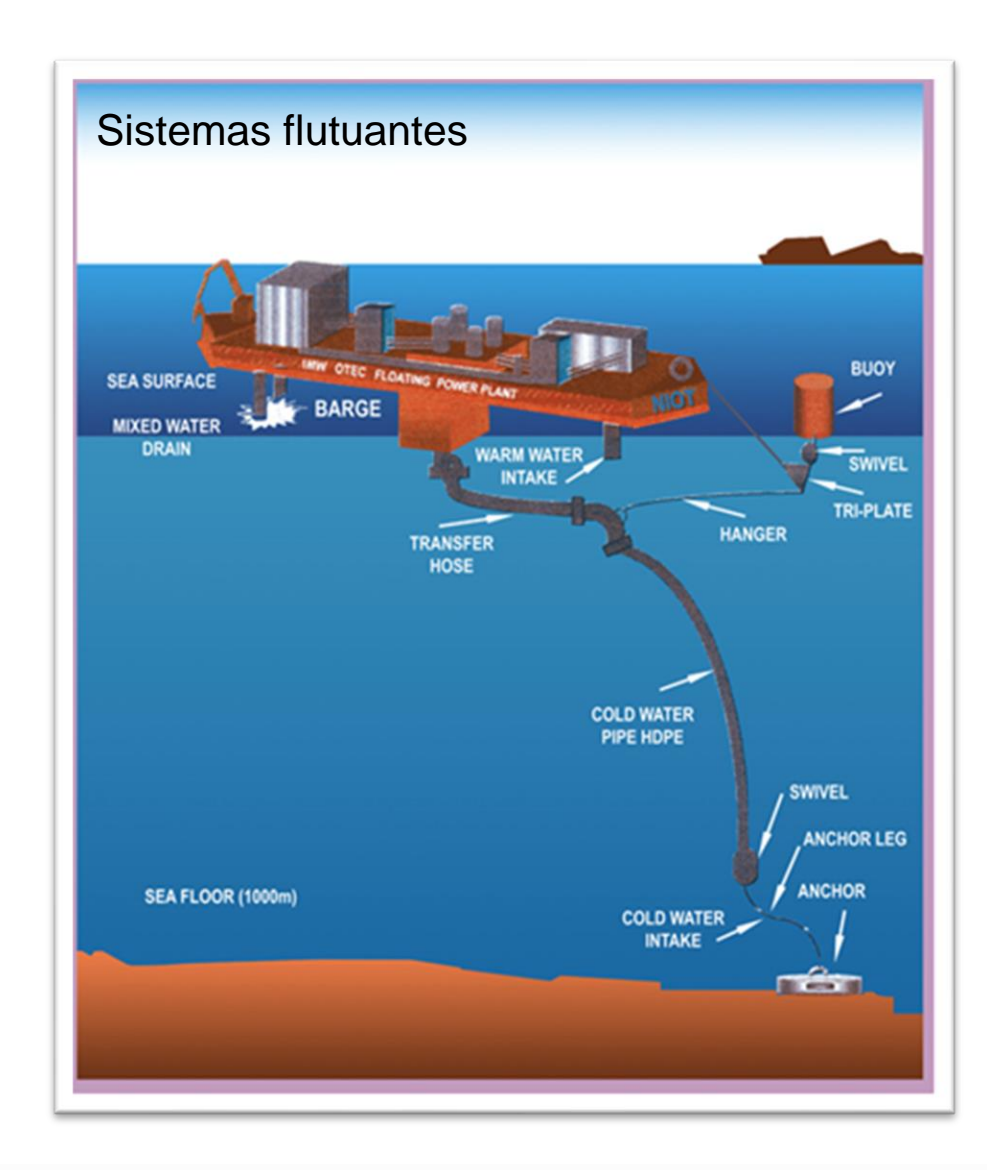
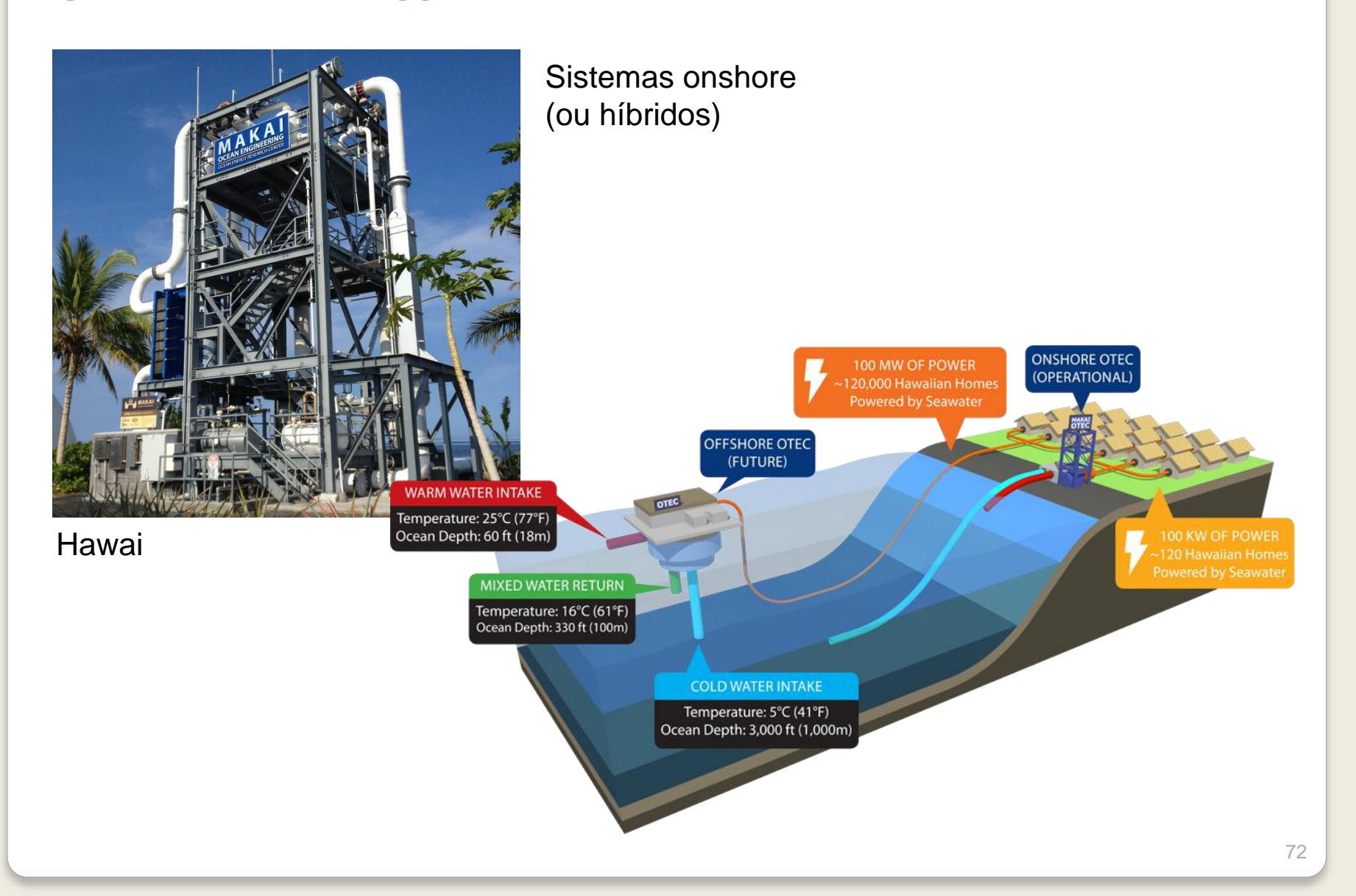
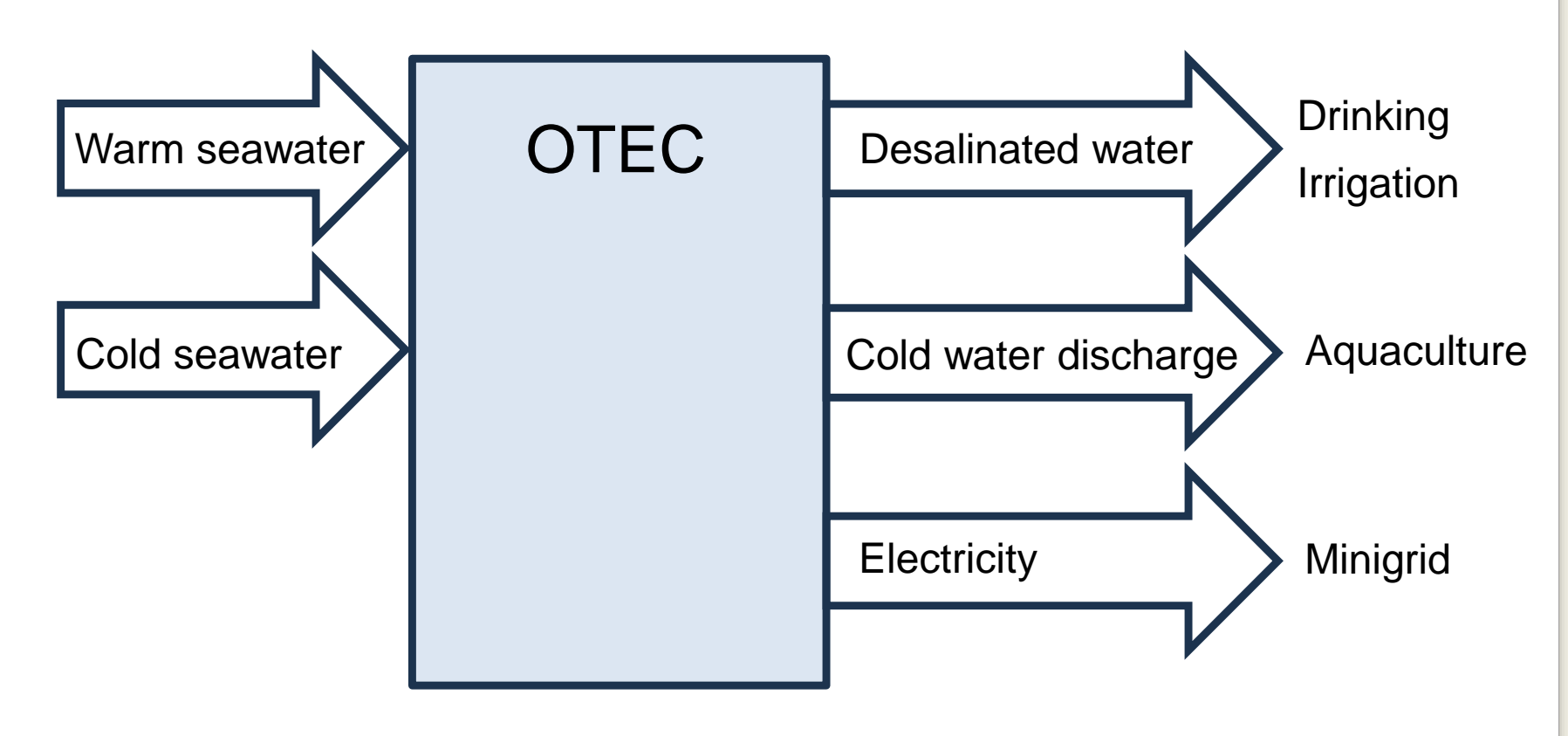


Fig. 3. A diagram of Geo-ocean thermal energy conversion.





Multifuncional



### OFFSHORE PRODUCTION



Sea-based operations such as wells, processing and drilling rigs require large turbines driven by gas and diesel fuels. Our technology allows these facilities to operate more sustainably in remote regions.

### SMALL ISLAND DEVELOPING STATES (SIDS)



Currently powered almost entirely by fossil fuels, these countries have been left behind in the world's renewable energy transition. OTEC is ideal for tropical islands as it produces a continuous power source without using land space.

### PORTS AND CRUISE TERMINALS



OTEC can power port operations while reducing dependence on imported fuels, cutting energy costs, and lowering emissions. The consistent energy supply supports sustainable growth for port infrastructure and logistics while enhancing environmental performance.

### RESORTS AND ECO-TOURISM



OTEC offers sustainable energy solutions for powering resorts and eco-tourism destinations. This clean energy helps lower operational costs, minimises carbon footprints, and supports a commitment to environmental stewardship. By integrating OTEC, eco-conscious destinations can attract eco-tourists seeking sustainable, innovative experiences in harmony with nature.

### DATA CENTRE POWER AND COOLING



OTEC enables data centres to operate more sustainably, offering a resilient, low-impact energy solution ideal for coastal or island-based facilities. Additionally, the cold deep-sea water used in the OTEC process can be harnessed for efficient, eco-friendly cooling of data centre infrastructure, significantly lowering energy consumption and cooling costs.



Exemplos de aplicações de nicho OTEC

OTEC – Ocean thermal energy conversion – ainda em fase experimental

Bombagem de água profunda (mais rica em nutrientes) para a superfície

- aumenta produtividade biológica pelo que pode ser associada a produção de aquacultura (mas pode ter impactos negativos nos ecossistemas)
- permite mineração de elementos comercialmente interessantes e.g. lítio
- produção constante.

Custo **transporte** electricidade submarino pode ser proibitivamente caro pelo que electricidade produzida pode ser aproveitada para

- dessalinização
- produção hidrogénio.

Quando se combinam duas soluções com diferentes concentrações liberta-se energia livre dada por:

$$\Delta E_{mix} = 2R_g T \left( c_c \ln rac{c_c (1+arphi)}{c_c + arphi c_d} + arphi c_d \ln rac{c_d (1+arphi)}{c_c + arphi c_d} 
ight)$$

R<sub>q</sub> - constante universal dos gases,

T - temperatura absoluta,

c<sub>c</sub> - concentração do soluto na solução diluída

c<sub>d</sub> - concentração do soluto na solução concentrada

 $\varphi = V_d/V_c$  é a razão de diluição

### Exemplo: NaCl

 $1\text{m}^3$  de água de rio com  $1\text{m}^3$  de água de mar  $\rightarrow 0.5$  kWh

Cascata silenciosa



(é o equivalente a queda de água de 175 m para 1 m³ água)

Por isso é que a dessalinização é tão "cara" energeticamente!!!

Quando se combinam duas soluções com diferentes concentrações liberta-se energia livre dada por:

$$\Delta E_{mix} = 2R_g T \left( c_c \ln \frac{c_c (1+arphi)}{c_c + arphi c_d} + arphi c_d \ln \frac{c_d (1+arphi)}{c_c + arphi c_d} 
ight)$$

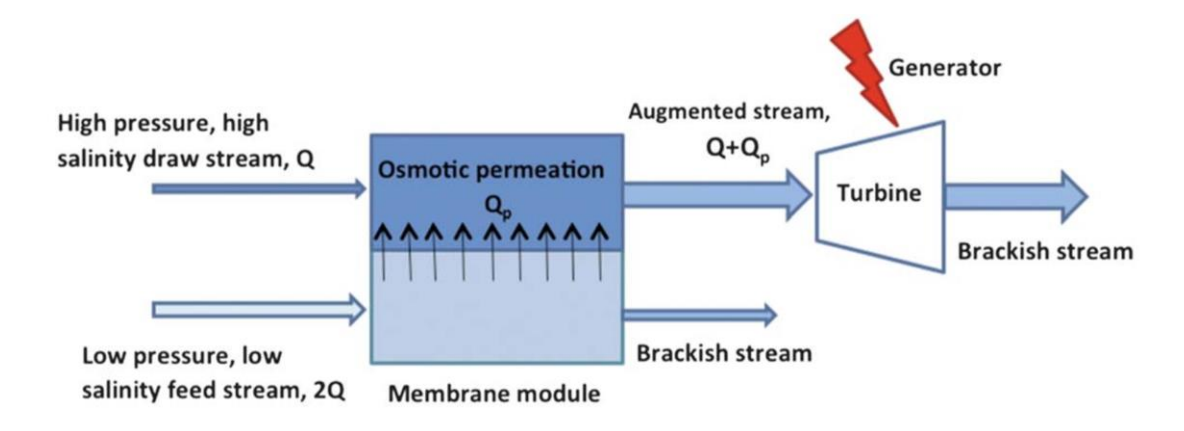
R<sub>q</sub> - constante universal dos gases,

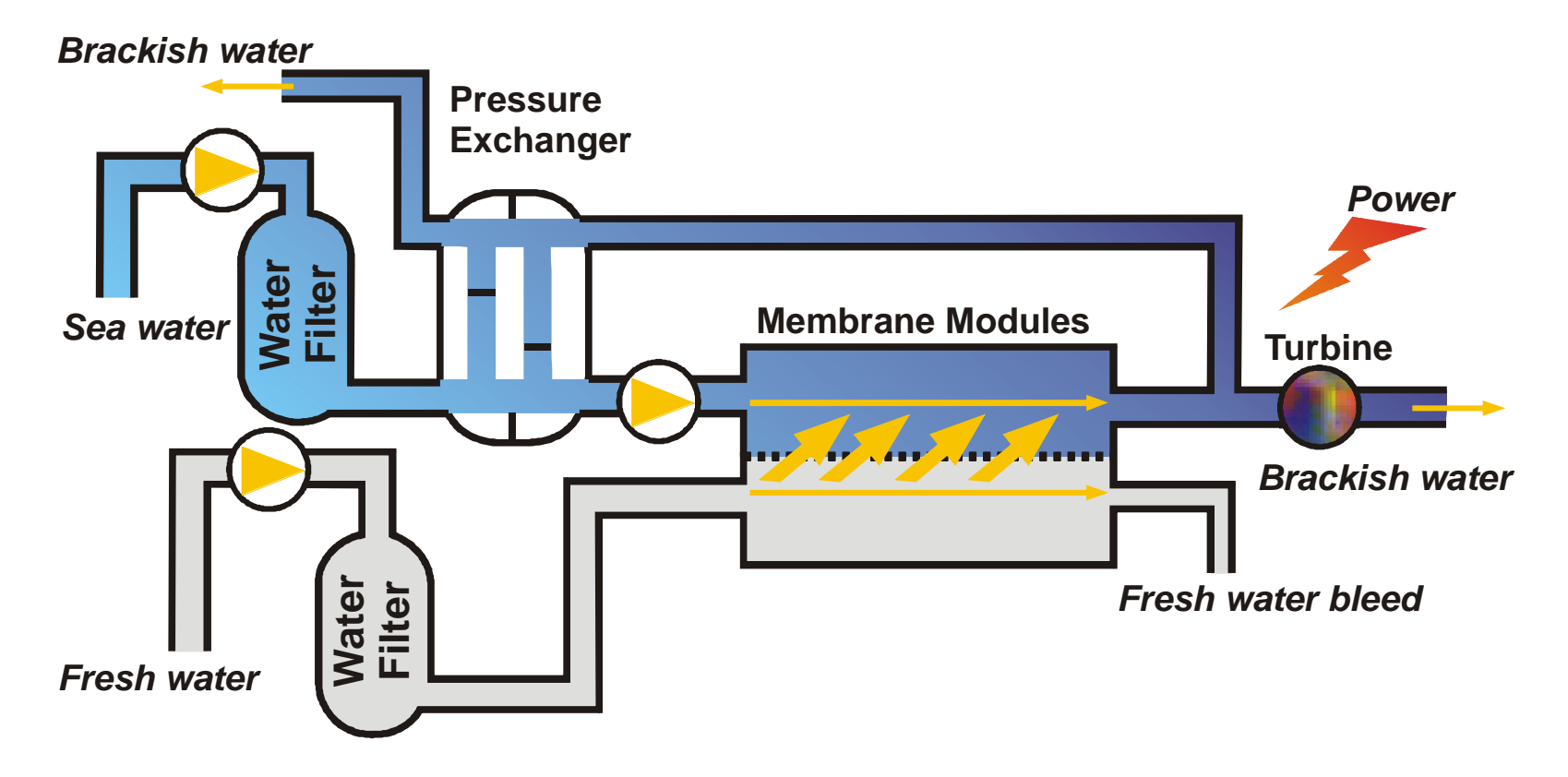
T - temperatura absoluta,

c<sub>c</sub> - concentração do soluto na solução diluída

c<sub>d</sub> - concentração do soluto na solução concentrada

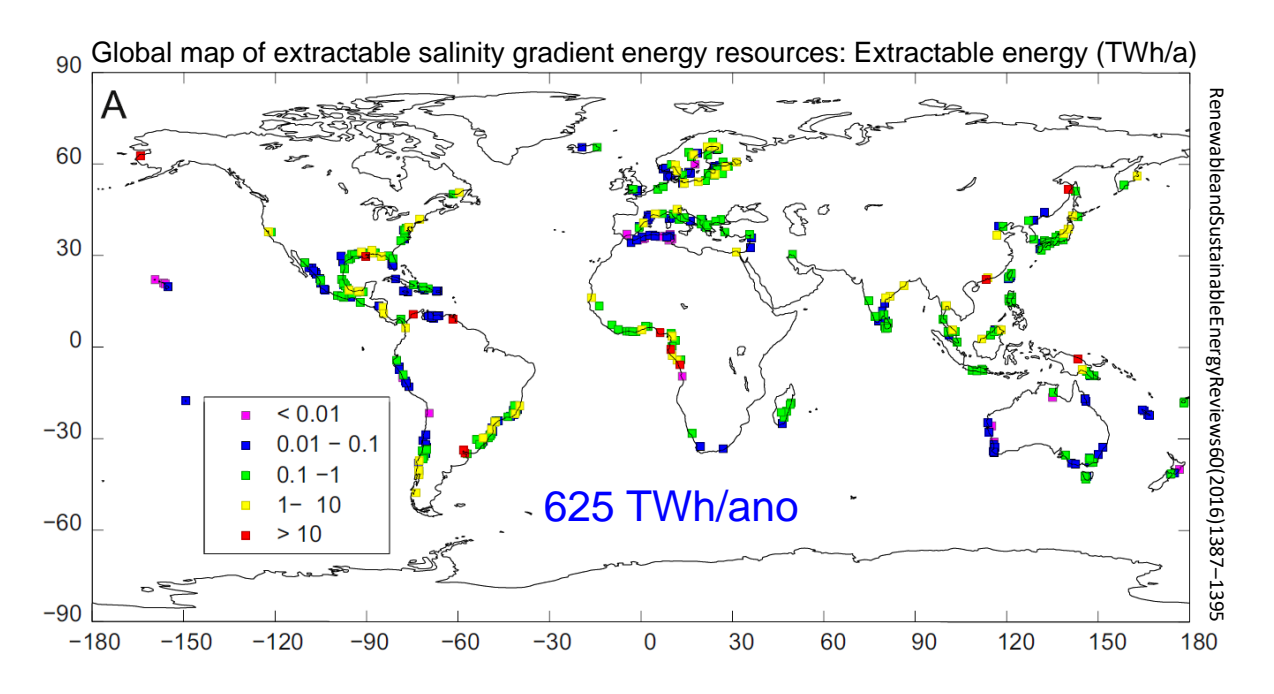
 $\varphi = V_d/V_c$  é a razão de diluição





Processo de osmose para produção de electricidade a partir do gradiente de salinidade.

Abundante em zonas costeiras com grandes rios (ex.: Amazonas, Congo, Mekong, Mississípi).



E talvez para recuperar alguma da energia consumida em processos de **dessalinização** (quando o resíduo salgado é "devolvido" ao mar).

Para já, ainda em fase de desenvolvimento...

# ✓ Impactos Positivos:

- ☐ Relativamente constante ao longo do tempo, desde que haja fluxo contínuo de água doce.
- ☐ Pode ser integrado com outras fontes (e.g. marés).

# $\bigwedge$

### **Desafios e Impactos Potenciais:**

- Impacto ambiental local: Alterações no ecossistema estuarino, mudanças na salinidade local, necessidade de análise ambiental cuidadosa.
- Consumo de membranas: As tecnologias baseadas em membranas (PRO, RED) têm custos elevados e problemas com bioincrustação.
- Viabilidade económica: Atualmente, os custos de produção ainda são elevados face a outras renováveis. Contudo, avanços em materiais (ex.: novas membranas) podem mudar esse cenário.

# **Energia dos oceanos**

Elevado potencial de produção de eletricidade renovável.

Variabilidade reduzida complementa positivamente outras renováveis não despacháveis (e.g. solar e eólica).

Mas,

Impacto ambiental relevante sobretudo em zonas costeiras.

Ambiente adverso dificulta fiabilidade das centrais.

Elevado custo.

Imaturidade tecnológica.